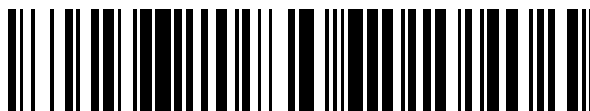


19



OFICINA ESPAÑOLA DE
PATENTES Y MARCAS

ESPAÑA



11 Número de publicación: **2 566 629**

51 Int. Cl.:

C12N 15/11 (2006.01)

C07H 21/04 (2006.01)

A61K 31/7088 (2006.01)

A61K 31/712 (2006.01)

A61K 31/7125 (2006.01)

A61K 48/00 (2006.01)

A61P 21/04 (2006.01)

12

TRADUCCIÓN DE PATENTE EUROPEA

T3

96 Fecha de presentación y número de la solicitud europea: **21.11.2003 E 12182252 (2)**

97 Fecha y número de publicación de la concesión europea: **16.03.2016 EP 2530154**

54 Título: **Fármacos de ácido nucleico ENA que modifican el corte y empalme en precursores de ARNm**

30 Prioridad:

25.11.2002 JP 2002340857

31.07.2003 JP 2003204381

45 Fecha de publicación y mención en BOPI de la traducción de la patente:

14.04.2016

73 Titular/es:

MATSUO, MASAFUMI (25.0%)

Department of Medical Rehabilitation, Faculty of Rehabilitation Kobegakuin University, 518 Arise, Ikawadani-cho

Nishi-ku, Kobe-shi, Hyogo 651-2180, JP;

ORPHAN DISEASE TREATMENT INSTITUTE CO., LTD. (25.0%);

TAKESHIMA, YASUHIRO (25.0%) y

DAIICHI SANKYO COMPANY, LIMITED (25.0%)

72 Inventor/es:

MATSUO, MASAFUMI;

TAKESHIMA, YASUHIRO y

KOIZUMI, MAKOTO

74 Agente/Representante:

UNGRÍA LÓPEZ, Javier

ES 2 566 629 T3

Aviso: En el plazo de nueve meses a contar desde la fecha de publicación en el Boletín europeo de patentes, de la mención de concesión de la patente europea, cualquier persona podrá oponerse ante la Oficina Europea de Patentes a la patente concedida. La oposición deberá formularse por escrito y estar motivada; sólo se considerará como formulada una vez que se haya realizado el pago de la tasa de oposición (art. 99.1 del Convenio sobre concesión de Patentes Europeas).

DESCRIPCIÓN

Fármacos de ácido nucleico ENA que modifican el corte y empalme en precursores de ARNm

5 **Campo técnico**

La presente invención se refiere a agentes farmacéuticos de ácido nucleico ENA capaces de modificar el corte y empalme de precursores de ARNm. Más específicamente, la presente invención se refiere a compuestos de oligonucleótido antisentido para secuencias potenciadoras del corte y empalme en el exón 50 del gen de la distrofina, así como agentes terapéuticos para la distrofia muscular que comprenden los compuestos.

Técnica antecedente

La distrofia muscular, que es una enfermedad muscular genética, se clasifica de forma aproximada en distrofia muscular de Duchenne (DMD) y distrofia muscular de Becker (BMD). La DMD es la enfermedad muscular genética que aparece más frecuentemente y sucede en una proporción de 1 por 3.500 nacimientos de varones. Los pacientes de DMD muestran síntomas de debilitación de los músculos en su niñez; después de ello, la atrofia muscular progresa de forma constante y provoca la muerte a la edad de aproximadamente 20. Actualmente, no existe agente terapéutico eficaz para DMD. El desarrollo de agentes terapéuticos está fuertemente demandado por pacientes con DMD en todo el mundo. La BMD en muchos casos sucede en la adultez y la mayoría de los pacientes son capaces de una supervivencia normal aunque se observa ligera debilitación de los músculos. Se han identificado mutaciones de delecciones en el gen de la distrofina en 2/3 casos de DMD y BMD. El progreso de los síntomas clínicos en pacientes con DMD o BMD es predecible dependiendo de si dichas delecciones alteran la fase de lectura traduccional del ARNm o mantienen esa fase de lectura (Monaco A.P. et al., Genomics 1988: 2:90-95). Aunque la biología molecular para comprender la DMD se ha profundizado de este modo, aún no se ha establecido un método eficaz para tratar la DMD.

Cuando los pacientes de DMD tienen una mutación de desplazamiento de fase, la proteína distrofina desaparece completamente de los músculos esqueléticos de los pacientes. Por otro lado, la proteína distrofina se produce a partir de ARNm en fase en tejidos musculares derivados de pacientes con BMD, aunque la proteína está incompleta. Como método para tratar la DMD, se conoce un método en que una mutación fuera de fase (la fase de lectura de aminoácidos está desplazada) se convierte en una mutación en fase (la fase de lectura se mantiene) modificando el ARNm de la distrofina (Matsuo M., Brain Dev 1996; 18:167-172). Recientemente, se ha informado de que el ratón mdx sintetizaba una distrofina que contiene delección como resultado de la inducción de salto de exón con un oligonucleótido complementario a la secuencia consenso de corte y empalme del gen de la distrofina (Wilton S.D. et al., Neuromusc Disord 1999: 9:330-338; Mann C.J. et al., Proc Natl Acad Sci USA 2001: 98:42-47). En estos estudios, el salto de exón se induce usando como diana la secuencia consenso de corte y empalme localizada en el límite entre dos exones.

Se asevera que el corte y empalme está regulado por secuencias potenciadoras de corte y empalme (SES). De hecho, se ha demostrado que alterando las SES en el exón 19 del gen de la distrofina con un oligonucleótido antisentido complementario al mismo, sucede un salto completo del exón 19 en células linfoblastoides normales (Takeshima Y et al., J Clin Invest 1995: 95:515-520; Pramono Z.A. et al., Biochem Biophys Res Commun 1996: 226:445-449).

También se ha informado de que introduciendo un oligonucleótido complementario a la SES en el exón 19 del gen de la distrofina para inducir de este modo el salto de exón, se producía satisfactoriamente una distrofina que contiene delección en células musculares derivadas de pacientes con DMD que portan delección del exón 20 (Takeshima Y et al., Brain & Development 2001: 23:788-790; publicación de patente japonesa no examinada N° H11-140930; publicación de patente japonesa no examinada N° 2002-10790). Esto indica que reparando el desplazamiento de la fase de lectura induciendo un salto del exón 19 con un oligonucleótido antisentido complementario a la SES en el exón 19 del gen de la distrofina se provoca la producción de una proteína distrofina cuya función está parcialmente restaurada; y por tanto es posible cambiar de DMD a BMD. Si es posible convertir la DMD, una miostrofia grave, en BMD ligera, puede esperarse prolongar las vidas de los pacientes.

Actualmente, se están desarrollando análogos oligonucleotídicos que tienen actividad antisentido estable y excelente (publicación de patente japonesa no examinada N° 2000-297097).

El documento EP-A-1 160 318 describe oligonucleótidos antisentido propuestos para tratar la distrofia muscular de Duchenne relacionada con los exones adyacentes al exón 43 o 53. Aartsma-Rus et al. (2002) Neuromuscular Disorders 12:S71-S77 analizan terapias de corrección génica dirigidas a la restauración de la fase de lectura en pacientes con distrofia muscular de Duchenne. El documento WO 2004/083446 describe métodos para generar oligonucleótidos con que puede saltarse un exón en un pre-ARNm y por tanto para excluirse de un ARNm producido del mismo. El documento EP-A-1 191 098 describe un ADN que representa la secuencia potenciadora de corte y empalme en el exón 45 del gen humano de la distrofina, y sugiere su uso en la preparación de un oligonucleótido antisentido para su uso en la inducción del salto del exón 45. Mann et al (2002) J Gene Med 4: 644-654 describe

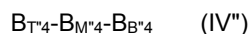
salto de exon inducido por oligonucleótido antisentido en el modelo de ratón mdx de distrofia muscular. Holding et al (1993) J Med Genet 30: 903-909 describe métodos para diagnóstico preimplantacional de distrofia muscular de Duchenne.

- 5 Un objeto de la presente invención es proporcionar agentes terapéuticos con rango de aplicación más amplio y mayor eficacia, mejorando los oligonucleótidos antisentido para la SES en el exón 50 del gen de la distrofina.

Descripción de la invención

- 10 Como resultado de investigaciones extensivas e intensivas hacia la consecución del objeto descrito anteriormente, los presentes inventores han conseguido diseñar y sintetizar esas secuencias de nucleótidos y compuestos de oligonucleótido antisentido que tienen mayor efecto de salto de exon sobre el exón 50 del gen de la distrofina. Por tanto, la presente invención se ha conseguido.

- 15 La presente invención puede resumirse del siguiente modo.
[1] Un compuesto capaz de inducir el salto del exón 50 del gen de la distrofina, que es (a) un oligonucleótido que consiste en la secuencia de nucleótidos mostrada en una cualquiera de las SEC ID N° 41, 40, 42, 43, 46, 44 y 45, donde al menos uno de los azúcares que constituyen el oligonucleótido está modificado, y donde dicho azúcar es D-ribofurano y al menos una modificación de dicho azúcar es 2'-O,4'-C alquilación de la D-ribofurano, o (b) un compuesto representado por la fórmula general (IV") o (V") o una sal farmacológicamente aceptable del mismo, donde dichas fórmulas generales se definen del siguiente modo:



- 25 donde B_{T^4} es un grupo representado por uno cualquiera de los siguientes (4a") a (4j"):

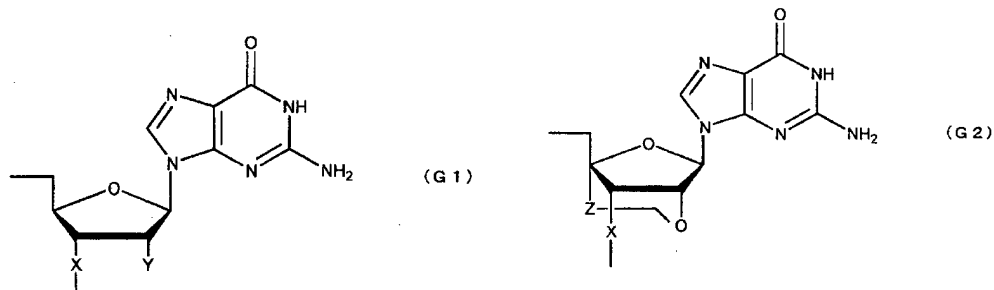
- (4a")HO-, (4b")HO-Ba,
(4c")HO-Bc-Ba, (4d")HO-Bt-Bc-Ba,
30 (4e")HO-Bg-Bt-Bc-Ba, (4f")HO-Bg-Bg-Bt-Bc-Ba,
(4g")HO-Ba-Bg-Bg-Bt-Bc-Ba, (4h")HO-Bt-Ba-Bg-Bg-Bt-Bc-Ba,
(4i")HO-Bc-Bt-Ba-Bg-Bg-Bt-Bc-Ba, o (4j")HO-Bg-Bc-Bt-Ba-Bg-Bg-Bt-Bc-Ba

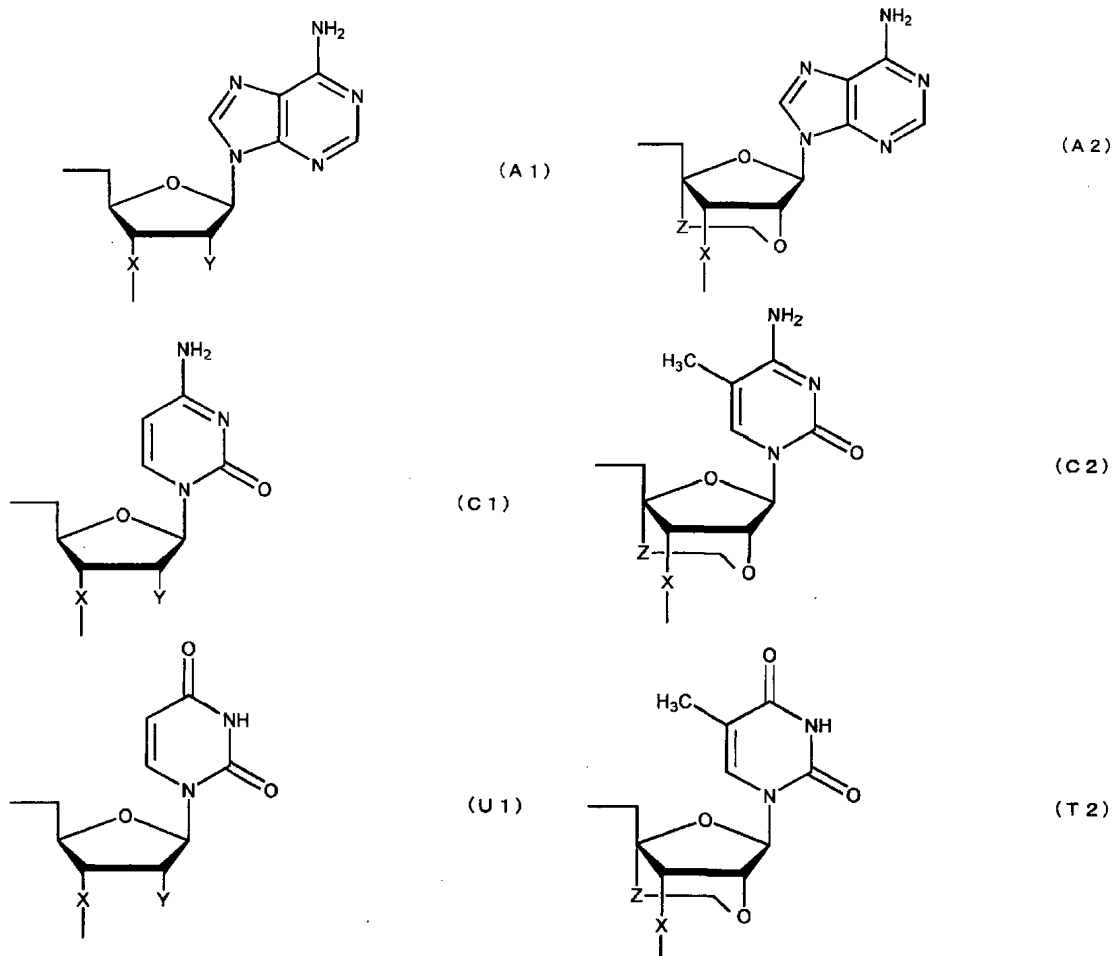
B_{M^4} es un grupo representado por la siguiente fórmula (4"): -Bg-Bg-Bc-Bt-Bg-Bc-Bt-Bt-Bt- (4")

B_{B^4} es un grupo representado por uno cualquiera de los siguientes (104a") a (104j"):

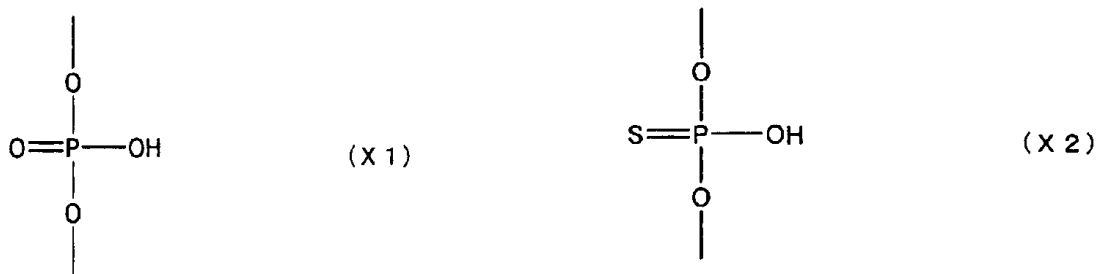
- 35 (104a")-CH₂CH₂OH, (104b")-Bg-CH₂CH₂OH,
(104c")-Bg-Bc-CH₂CH₂OH, (104d")-Bg-Bc-Bc-CH₂CH₂OH,
(104e")-Bg-Bc-Bc-Bc-CH₂CH₂OH, (104f")-Bg-Bc-Bc-Bc-Bt-CH₂CH₂OH,
40 (104g")-Bg-Bc-Bc-Bc-Bt-Bc-CH₂CH₂OH, (104h")-Bg-Bc-Bc-Bc-Bt-Bc-Ba-CH₂CH₂OH,
(104i")-Bg-Bc-Bc-Bc-Bt-Bc-Ba-Bg-CH₂CH₂OH, o
(104j")-Bg-Bc-Bc-Bc-Bt-Bc-Ba-Bg-Bc-CH₂CH₂OH

- 45 donde Bg es un grupo representado por la siguiente fórmula (G1) o (G2); Ba es un grupo representado por la siguiente fórmula (A1) o (A2); Bc es un grupo representado por la siguiente fórmula (C1) o (C2); y Bt es un grupo representado por la siguiente fórmula (U1) o (T2):





5 donde X es individual e independientemente un grupo representado por la siguiente fórmula (X1) o (X2):



10 Y es individual e independientemente un átomo de hidrógeno, un grupo hidroxilo o un grupo alcoxi con 1-6 átomos de carbono; y Z es individual e independientemente un enlace sencillo o un grupo alquileo con 1-5 átomos de carbono; con la condición de que al menos uno de los nucleósidos que constituyen el compuesto representado por la fórmula (IV'') tenga un grupo 2'-O,4'-C-alquileo.

15 $B_{T^5}-B_{M^5}-B_{B^5}$ (V''')

donde B_{T^5} es un grupo representado por uno cualquiera de los siguientes (5a'') a (5j''):

- 20 (5a'')HO-, (5b'')HO-Ba-,
 (5c'')HO-Bg-Ba-, (5d'')HO-Bg-Bg-Ba-,
 (5e'')HO-Ba-Bg-Bg-Ba-, (5f'')HO-Bc-Ba-Bg-Bg-Ba-,
 (5g'')HO-Bc-Bc-Ba-Bg-Bg-Ba-, (5h'')HO-Bt-Bc-Bc-Ba-Bg-Bg-Ba-,
 (5i'')HO-Bg-Bt-Bc-Bc-Ba-Bg-Bg-Ba-, o (5j'')HO-Ba-Bg-Bt-Bc-Bc-Ba-Bg-Bg-Ba-

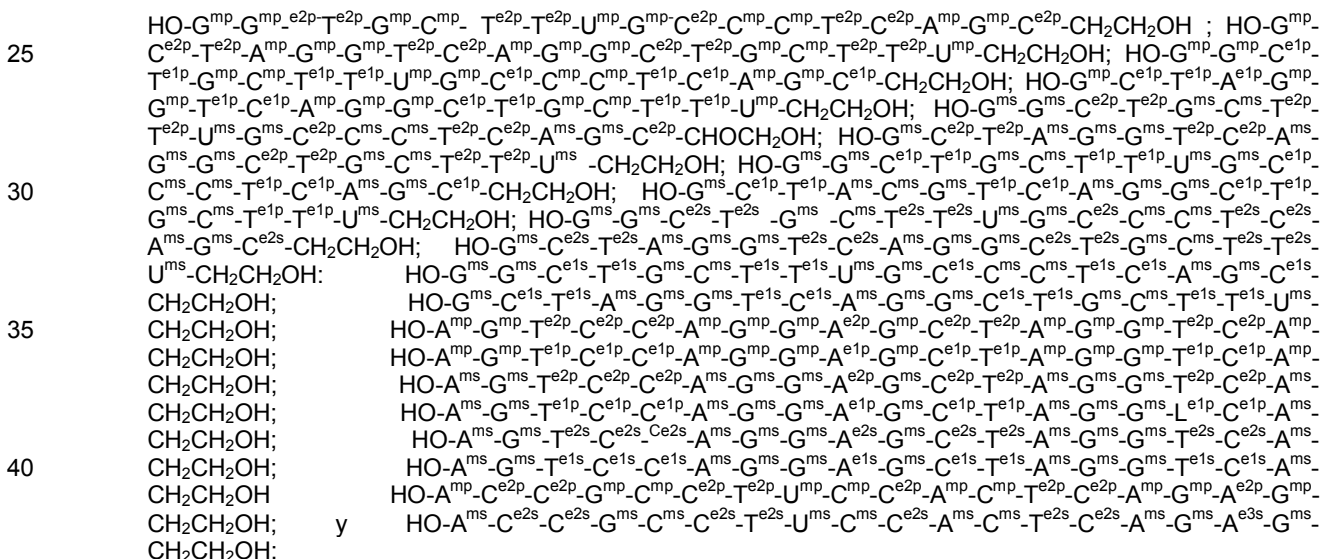
25

B_M⁵ es un grupo representado por la siguiente fórmula (5''): -Bg-Bc-Bt-Ba-Bg-Bg-Bt-Bc-Ba- (5'')
 B_B⁵ es un grupo representado por uno cualquiera de los siguientes (105a'') a (105j''):

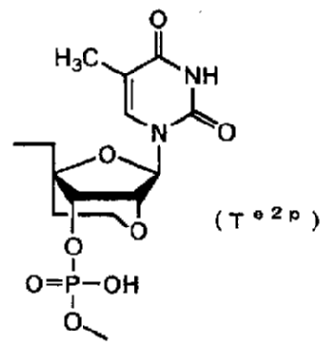
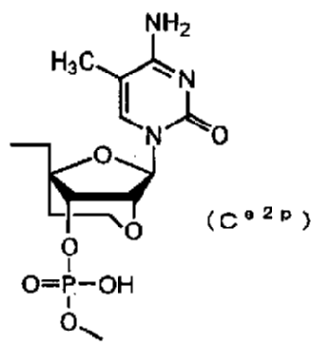
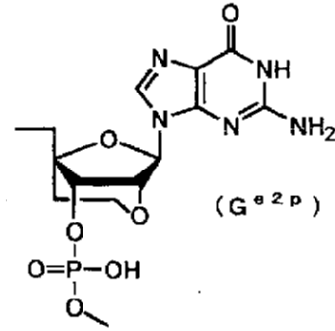
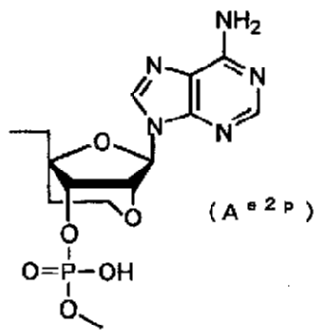
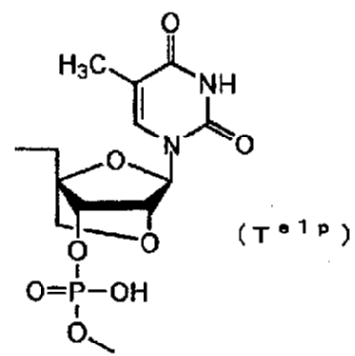
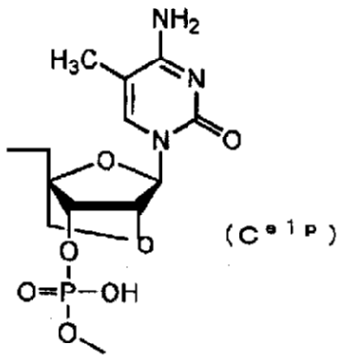
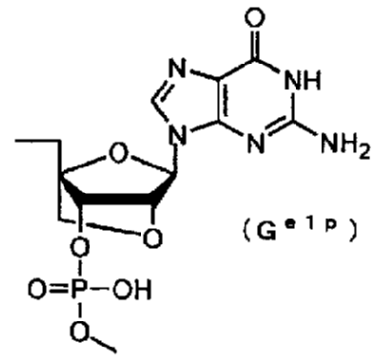
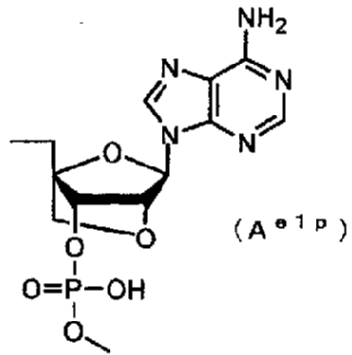
- | | | |
|----|--|---|
| 5 | (105a'')-CH ₂ CH ₂ OH, | (105b'')-Bg-CH ₂ CH ₂ OH, |
| | (105c'')-Bg-Bg-CH ₂ CH ₂ OH, | (105d'')-Bg-Bg-Bc-CH ₂ CH ₂ OH, |
| | (105e'')-Bg-Bg-Bc-Bt-CH ₂ CH ₂ OH, | (105f'')-Bg-Bg-Bc-Bt-Bg-CH ₂ CH ₂ OH, |
| | (105g'')-Bg-Bg-Bc-Bt-Bg-Bc-CH ₂ CH ₂ OH, | (105h'')-Bg-Bg-Bc-Bt-Bg-Bc-Bt-CH ₂ CH ₂ OH, |
| | (105i'')-Bg-Bg-Bc-Bt-Bg-Bc-Bt-Bt-CH ₂ CH ₂ OH, o | |
| 10 | (105j'')-Bg-Bg-Bc-Bt-Bg-Bc-Bt-Bt-Bt-CH ₂ CH ₂ OH | |

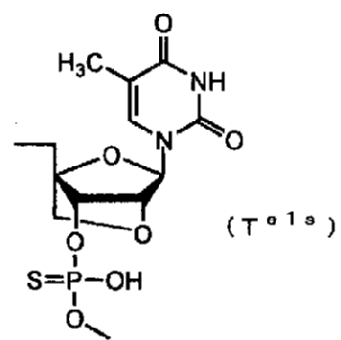
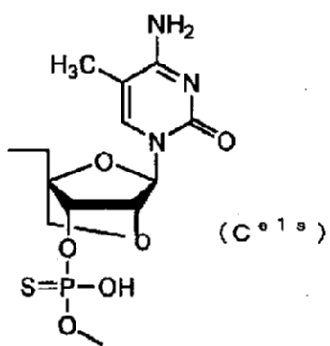
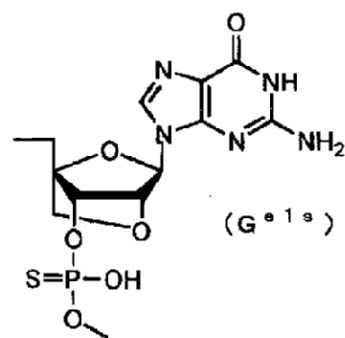
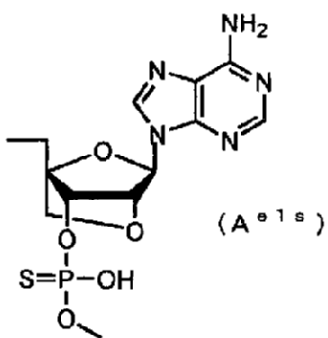
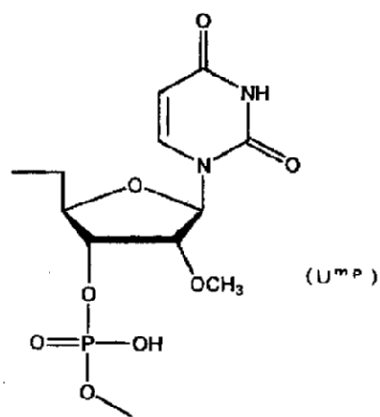
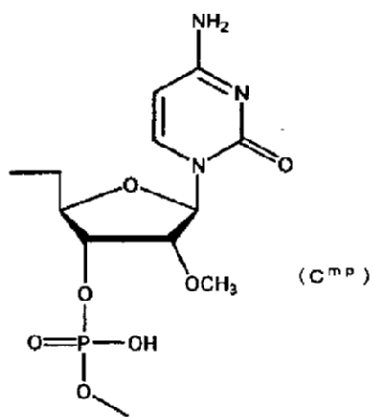
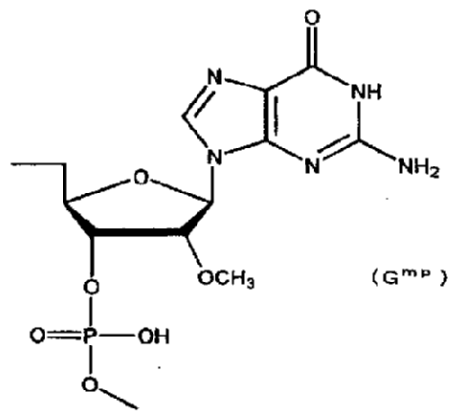
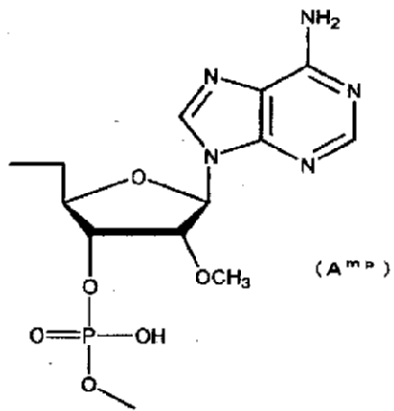
donde Bg, Ba, Bt y Bc son como se han definido anteriormente;
 con la condición de que la menos uno de los nucleósidos que constituyen el compuesto representado por la fórmula (V'') tenga un grupo 2'-O,4'-C-alkileno;

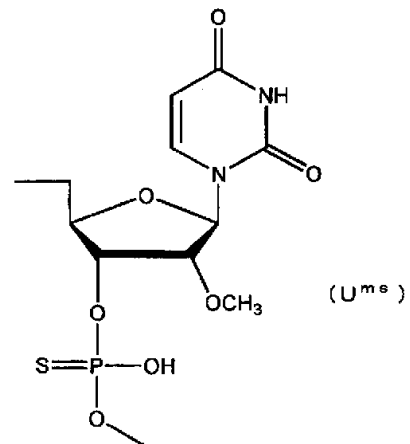
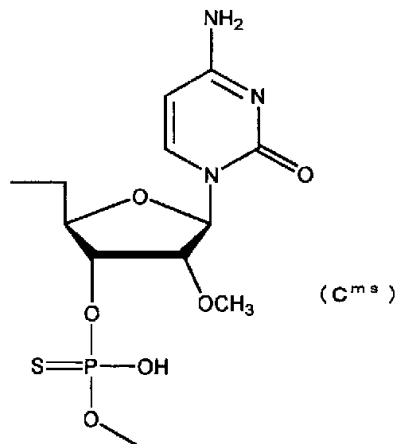
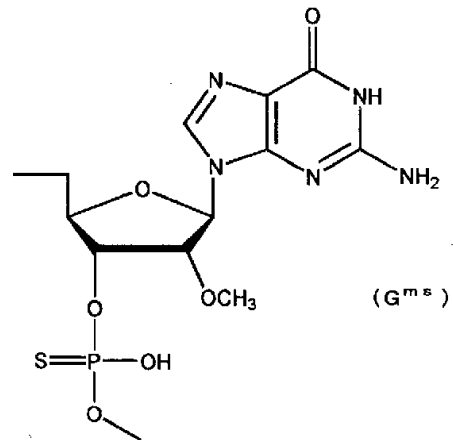
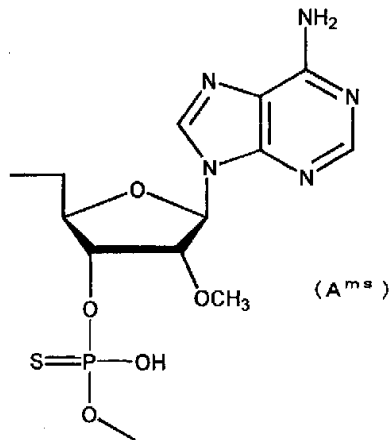
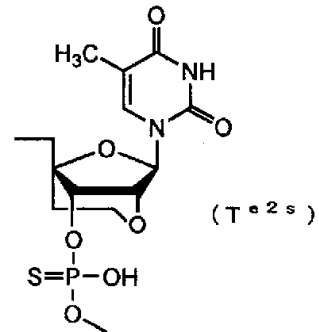
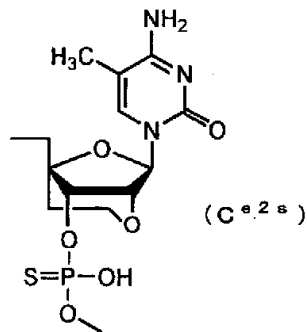
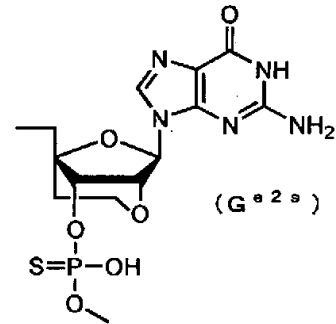
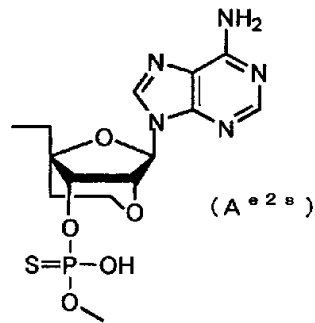
- 15 [2] El compuesto de [1] anterior o una sal farmacológicamente aceptable del mismo, donde al menos uno de los fosfatos que constituyen el oligonucleótido está modificado.
 [3] El compuesto de [1] o [2] anterior o una sal farmacológicamente aceptable del mismo, que comprende adicionalmente 2'-O-alkilación de la D-ribofuranosa.
 [4] El compuesto de [2] anterior o una sal farmacológicamente aceptable del mismo, donde la modificación del fosfato es tioación del grupo fosfato.
 20 [5] El compuesto de acuerdo con uno cualquiera de [1] a [4] anterior, que está representado por una cualquiera de las fórmulas seleccionadas entre el grupo que consiste en



45 donde A^{e1p}, G^{e1p}, C^{e1p}, T^{e1p}, A^{e2p}, G^{e2p}, C^{e2p}, T^{e2p}, A^{mp}, G^{mp}, C^{mp}, U^{mp}, A^{e1s}, G^{e1s}, C^{e1s}, T^{e1s}, A^{e2s}, G^{e2s}, C^{e2s}, T^{e2s}, A^{ms}, G^{ms}, C^{ms}, y U^{ms} son grupos que tienen las siguientes estructuras, respectivamente:







5 o una sal farmacológicamente aceptable de los mismos:
 [6] El compuesto de acuerdo con [5] donde dicha fórmula se selecciona entre HO-G^{mp}-G^{mp}-C^{e2p}-T^{e2p}-G^{mp}-C^{mp}-

T^{e2p}-T^{e2p}-U^{mp}-G^{mp}-C^{e2p}-C^{mp}-C^{mp}-T^{e2p}-C^{e2p}-A^{mp}-G^{mp}-C^{e2p}-CH₂CH₂OH; HO-G^{mp}-C^{e2p}-T^{e2p}-A^{mp}-G^{mp}-G^{mp}-T^{e2p}-C^{e2p}-A^{mp}-G^{mp}-G^{mp}-C^{e2p}-T^{e2p}-G^{mp}-C^{mp}-C^{mp}-T^{e2p}-T^{e2p}-U^{mp}-CH₂CH₂OH; HO-G^{ms}-G^{ms}-C^{e2s}-T^{e2s}-G^{ms}-C^{ms}-T^{e2s}-T^{e2s}-U^{ms}-G^{ms}-C^{e2s}-C^{ms}-C^{ms}-T^{e2s}-C^{e2s}-A^{ms}-G^{ms}-C^{e2s}-CH₂CH₂OH; HO-G^{ms}-C^{e2s}-T^{e2s}-A^{ms}-G^{ms}-G^{ms}-T^{e2s}-C^{e2s}-A^{ms}-G^{ms}-G^{ms}-C^{e2s}-T^{e2s}-G^{ms}-C^{ms}-T^{e2s}-T^{e2s}-U^{ms}-CH₂CH₂OH; HO-A^{mp}-G^{mp}-T^{e2p}-C^{e2p}-C^{e2p}-A^{mp}-G^{mp}-G^{mp}-A^{mp}-G^{mp}-C^{e2p}-T^{e2p}-A^{mp}-G^{mp}-G^{mp}-T^{e2p}-C^{e2p}-A^{mp}-G^{ms}-T^{e2s}-C^{e2s}-A^{ms}-G^{ms}-G^{ms}-T^{e2s}-C^{e2s}-A^{ms}-G^{ms}-G^{ms}-C^{e2s}-T^{e2s}-U^{ms}-CH₂CHOH; HO-A^{ms}-G^{ms}-T^{e2s}-C^{e2s}-A^{ms}-G^{ms}-G^{ms}-A^{ms}-G^{ms}-C^{e2s}-T^{e2s}-A^{ms}-G^{ms}-G^{ms}-T^{e2s}-C^{e2s}-A^{ms}-CH₂CH₂OH; HO-A^{mp}-C^{e2p}-C^{mp}-G^{mp}-C^{mp}-T^{e2p}-U^{mp}-C^{mp}-C^{e2p}-A^{mp}-G^{mp}-T^{e2p}-C^{e2p}-A^{mp}-G^{mp}-A^{mp}-G^{mp}-C^{e2p}-A^{mp}-G^{mp}-G^{mp}-C^{e2p}-A^{mp}-G^{ms}-C^{e2s}-T^{e2s}-U^{ms}-C^{ms}-C^{e2s}-T^{e2s}-U^{ms}-C^{ms}-C^{e2s}-A^{ms}-C^{ms}-T^{e2s}-C^{e2s}-A^{ms}-G^{ms}-A^{e2s}-G^{ms}-CH₂CH₂H.

- 5 [7] Un agente terapéutico para la distrofia muscular, que comprende el compuesto de uno cualquiera de [1] a [6] anterior o una sal farmacológicamente aceptable del mismo.
- 10 [8] El agente terapéutico de [7] anterior, cuya diana de tratamiento es aquellos pacientes en que la cantidad total de los aminoácidos en la fase de lectura abierta del gen de la distrofina será un múltiplo de 3 cuando el exón 50 del gen de la distrofina se ha saltado.
- 15 [9] Un compuesto de acuerdo con uno cualquiera de [1] a [6] anterior o un agente terapéutico de acuerdo con [7] u [8] anterior para su uso en el tratamiento de la distrofia muscular.
- [10] Uso de un compuesto de acuerdo con uno cualquiera de [1] a [6] anterior en la fabricación de un medicamento para tratar la distrofia muscular.
- [11] Uso de acuerdo con [10] anterior, donde la diana de tratamiento es aquellos pacientes en que la cantidad total de los aminoácidos en la fase de lectura abierta del gen de la distrofina será un múltiplo de 3 cuando el exón 50 del gen de la distrofina se ha saltado.
- 20 [12] Un agente terapéutico de acuerdo con [7] u [8], un compuesto o agente terapéutico de acuerdo con [9] anterior o un uso de acuerdo con [10] u [11] anterior donde dicha distrofia muscular es distrofia muscular de Duchenne.

El término "oligonucleótido" usado en la presente invención abarca no solamente oligo ADN u oligo ARN, sino también un oligonucleótido en que al menos una D-ribofuranosa que constituye el oligonucleótido está 2'-O-alquilada; un oligonucleótido en que al menos una D-ribofuranosa que constituye el oligonucleótido está 2'-O,4'-C-alquilada; un oligonucleótido en que al menos un fosfato que constituye el oligonucleótido está tioado; o una combinación de los mismos. Dichos oligonucleótidos en que al menos una D-ribofuranosa que constituye el oligonucleótido está 2'-O-alquilada o 2'-O,4'-C-alquilada tiene elevada fuerza de unión a ARN y elevada resistencia a nucleasa. Por tanto, se espera que produzcan mayores efectos terapéuticos que los nucleótidos naturales (es decir oligo ADN u oligo ARN). Además, un oligonucleótido en que al menos un fosfato que constituye el oligonucleótido está tioado también tiene elevada resistencia a nucleasa y, por tanto, se espera que produzca mayor efecto terapéutico que los nucleótidos naturales (es decir oligo ADN u oligo ARN). Un oligonucleótido que comprende tanto el azúcar modificado como el fosfato modificado como se ha descrito anteriormente aún tiene mayor resistencia a nucleasa y, por tanto, se espera que produzca aún mayor efecto terapéutico.

Con respecto al oligonucleótido de la presente invención, ejemplos de la modificación del azúcar incluyen, aunque sin limitación, 2'-O-alquilación (por ejemplo, 2'-O-metilación, 2'-O-aminoetilación, 2'-O-propilación, 2'-O-alilación, 2'-O-metoxietilación, 2'-O-butilación, 2'-O-pentilación, o 2'-O-propargilación) de D-ribofuranosa; 2'-O,4'-C-alquilación (por ejemplo, 2'-O,4'-C-etilación, 2'-O,4'-C-metilación, 2'-O,4'-C-propilación, 2'-O,4'-C-tetrametilación o 2'-O,4'-C-pentametilación) de D-ribofuranosa; 3'-desoxi-3'-amino-2'-desoxi-D-ribofuranosa; y 3'-desoxi-3'-amino-2'-desoxi-2'-fluoro-D-ribofuranosa.

Con respecto al oligonucleótido de la presente invención, ejemplos de la modificación del fosfato incluyen, aunque sin limitación, fosforotioato, metilfosfonato, metiltiofosfonato, fosforoditioato y fosforoamidato.

Con respecto a Y en las fórmulas (G1), (A1), (C1) y (U1), ejemplos del grupo alcoxi con 1-6 átomos de carbono incluyen, aunque sin limitación, grupo metoxi, grupo aminoetoxi, grupo propoxi, grupo aliloxi, grupo metoxietoxi, grupo butoxi, grupo pentiloxi, y grupo propargiloxi.

Con respecto a Z en las fórmulas (G2), (A2), (C2) y (T2), ejemplos del grupo alquileo con 1-5 átomos de carbono incluyen, aunque sin limitación, grupo metileno, grupo etileno, grupo propileno, grupo tetrametileno y grupo pentametileno.

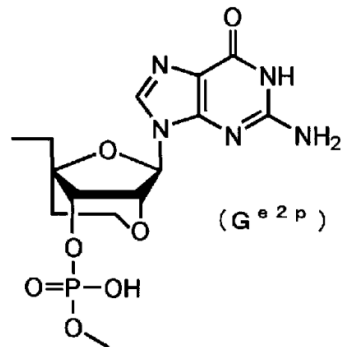
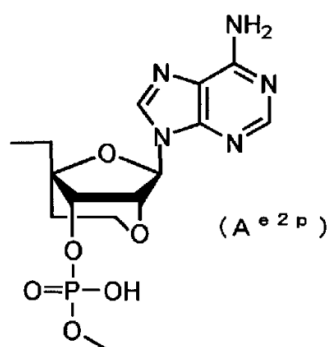
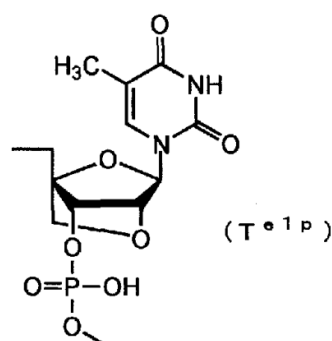
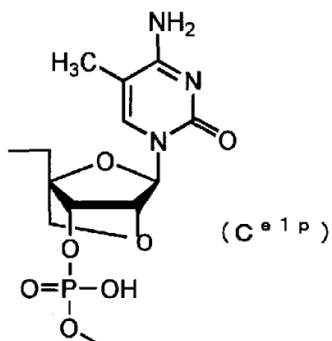
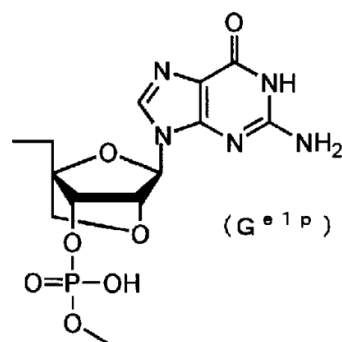
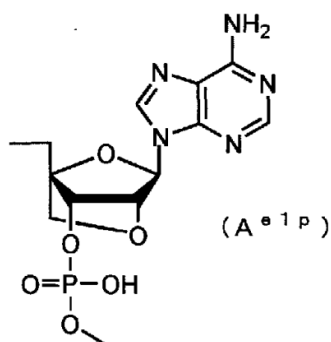
55 Ejemplos preferibles del compuesto representado por la fórmula general (IVⁿ) incluyen los siguientes compuestos. (IVⁿ-1)HO-G^{mp}-G^{mp}-C^{e2p}-T^{e2p}-G^{mp}-C^{mp}-T^{e2p}-T^{e2p}-U^{mp}-G^{mp}-C^{e2p}-C^{mp}-C^{mp}-T^{e2p}-C^{e2p}-A^{mp}-G^{mp}-C^{e2p}-CH₂ CH₂OH; (IVⁿ-2)HO-G^{mp}-C^{e2p}-T^{e2p}-A^{mp}-G^{mp}-G^{mp}-T^{e2p}-C^{e2p}-A^{mp}-G^{mp}-G^{mp}-C^{e2p}-T^{e2p}-G^{mp}-C^{mp}-T^{e2p}-T^{e2p}-U^{mp}-CH₂CH₂OH; (IVⁿ-3)HO-G^{mp}-G^{mp}-C^{e1p}-T^{e1p}-G^{mp}-C^{mp}-T^{e1p}-T^{e1p}-U^{mp}-G^{mp}-C^{e1p}-C^{mp}-C^{mp}-T^{e1p}-C^{e1p}-A^{mp}-G^{mp}-C^{e1p}-CH₂CH₂OH; (IVⁿ-4)HO-G^{mp}-C^{e1p}-T^{e1p}-A^{mp}-G^{mp}-G^{mp}-T^{e1p}-C^{e1p}-A^{mp}-G^{mp}-G^{mp}-C^{e1p}-T^{e1p}-G^{mp}-C^{mp}-T^{e1p}-T^{e1p}-U^{mp}-CH₂CH₂OH; (IVⁿ-5)HO-G^{ms}-G^{ms}-C^{e2p}-T^{e2p}-G^{ms}-C^{ms}-T^{e2p}-T^{e2p}-U^{ms}-G^{ms}-C^{e2p}-C^{ms}-C^{ms}-T^{e2p}-C^{e2p}-A^{ms}-G^{ms}-C^{e2p}-CH₂CH₂OH; (IVⁿ-6)HO-G^{ms}-C^{e2p}-T^{e2p}-A^{ms}-G^{ms}-G^{ms}-T^{e2p}-C^{e2p}-A^{ms}-G^{ms}-G^{ms}-C^{e2p}-T^{e2p}-G^{ms}-C^{ms}-T^{e2p}-T^{e2p}-U^{ms}-CH₂C H₂OH; (IVⁿ-7)HO-G^{ms}-G^{ms}-C^{e1p}-T^{e1p}-G^{ms}-C^{ms}-T^{e1p}-T^{e1p}-U^{ms}-G^{ms}-C^{e1p}-C^{ms}-C^{ms}-T^{e1p}-C^{e1p}-A^{ms}-G^{ms}-C^{e1p}-CH₂CH₂OH; (IVⁿ-8)HO-G^{ms}-C^{e1p}-T^{e1p}-A^{ms}-G^{ms}-G^{ms}-T^{e1p}-C^{e1p}-A^{ms}-G^{ms}-G^{ms}-C^{e1p}-T^{e1p}-G^{ms}-C^{ms}-T^{e1p}-T^{e1p}-U^{ms}-CH₂CH₂OH; (IVⁿ-9)HO-G^{ms}-G^{ms}-C^{e2s}-T^{e2s}-G^{ms}-C^{ms}-T^{e2s}-T^{e2s}-U^{ms}-G^{ms}-C^{e2s}-C^{ms}-C^{ms}-T^{e2s}-C^{e2s}-A^{ms}-G^{ms}-C^{e2s}-CH₂CH₂OH; (IVⁿ-10)HO-G^{ms}-C^{e2s}-T^{e2s}-A^{ms}-G^{ms}-G^{ms}-T^{e2s}-C^{e2s}-A^{ms}-G^{ms}-G^{ms}-C^{e2s}-T^{e2s}-U^{ms}-C^{ms}-C^{e2s}-T^{e2s}-U^{ms}-CH₂CH₂OH; (IVⁿ-11)HO-G^{ms}-G^{ms}-C^{e1s}-T^{e1s}-G^{ms}-C^{ms}-T^{e1s}-T^{e1s}-U^{ms}-G^{ms}-C^{e1s}-C^{ms}-C^{ms}-T^{e1s}-C^{e1s}-A^{ms}-G^{ms}-C^{e1s}-CHO₂CH₂OH; (IVⁿ-12)HO-G^{ms}-C^{e1s}-T^{e1s}-A^{ms}-G^{ms}-G^{ms}-T^{e1s}-C^{e1s}-A^{ms}-G^{ms}-G^{ms}-C^{e1s}-T^{e1s}-G^{ms}-C^{ms}-T^{e1s}-T^{e1s}

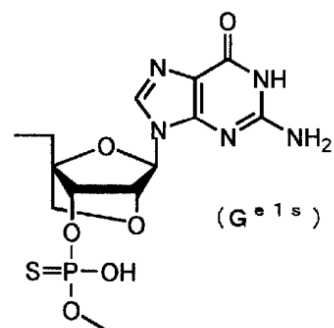
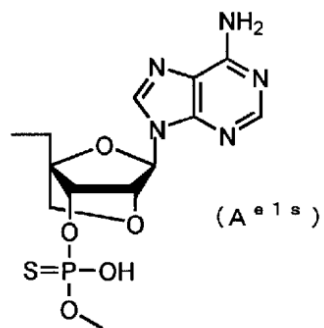
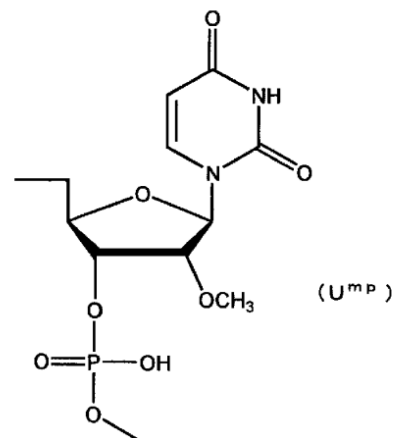
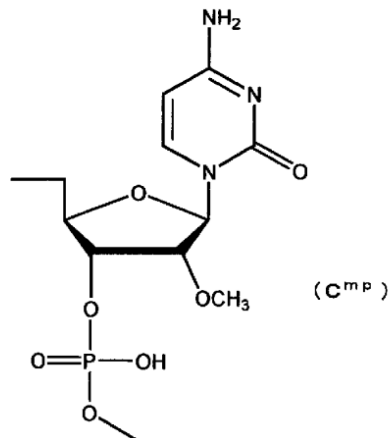
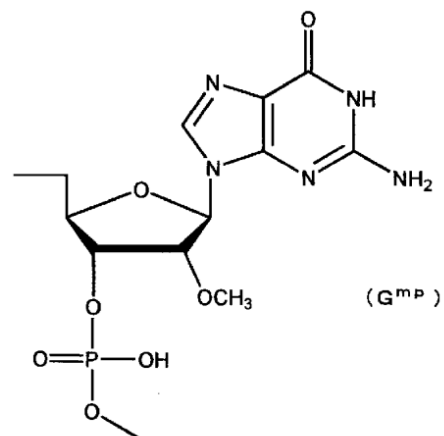
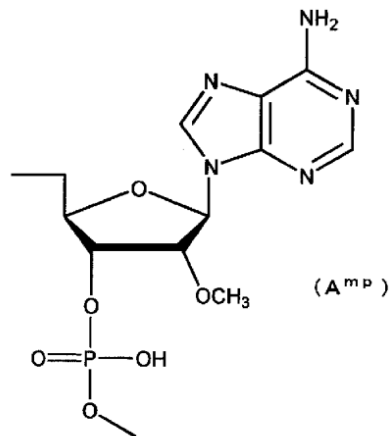
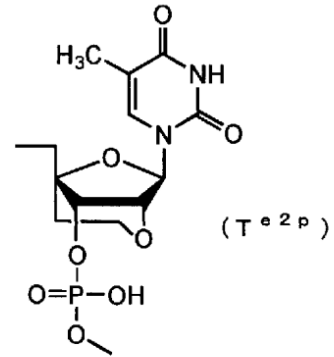
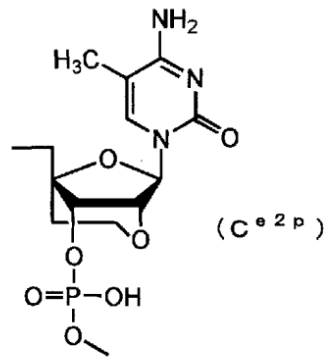
$U^{ms}-CH_2C H_2OH$. Son especialmente preferibles (IV"-1), (IV"-2), (IV"-9) y (IV"-10).

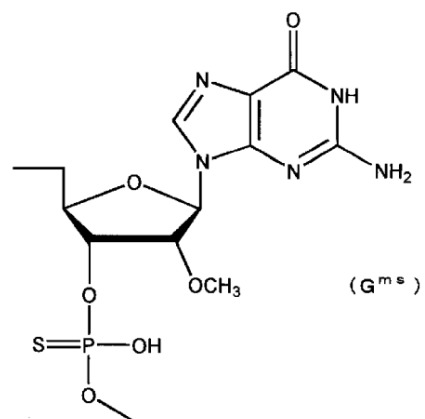
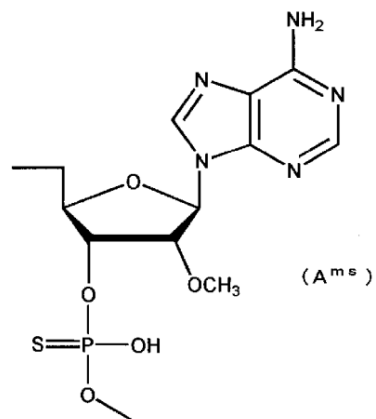
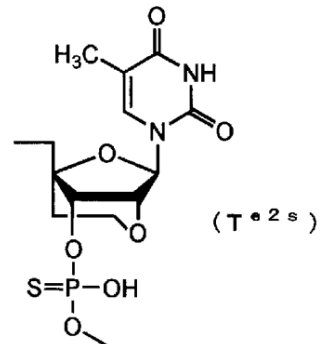
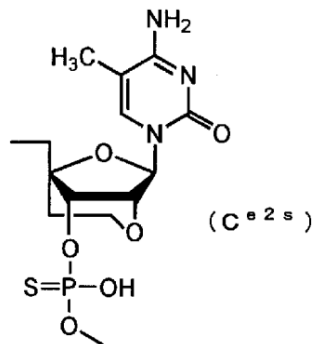
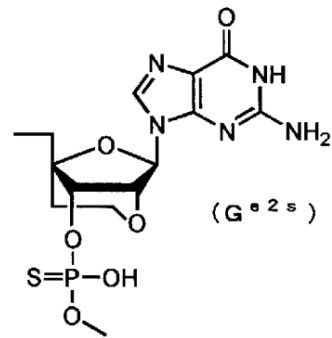
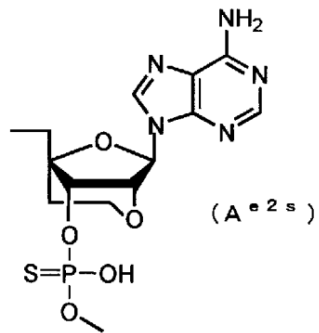
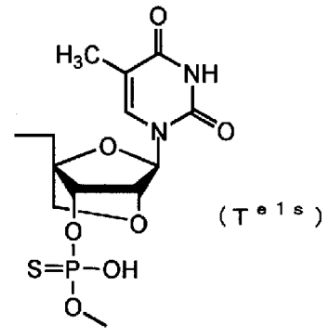
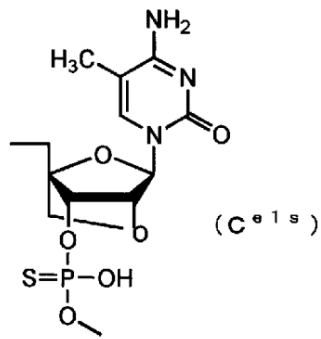
Ejemplos preferibles del compuesto representado por la fórmula general (V") incluyen los siguientes compuestos.

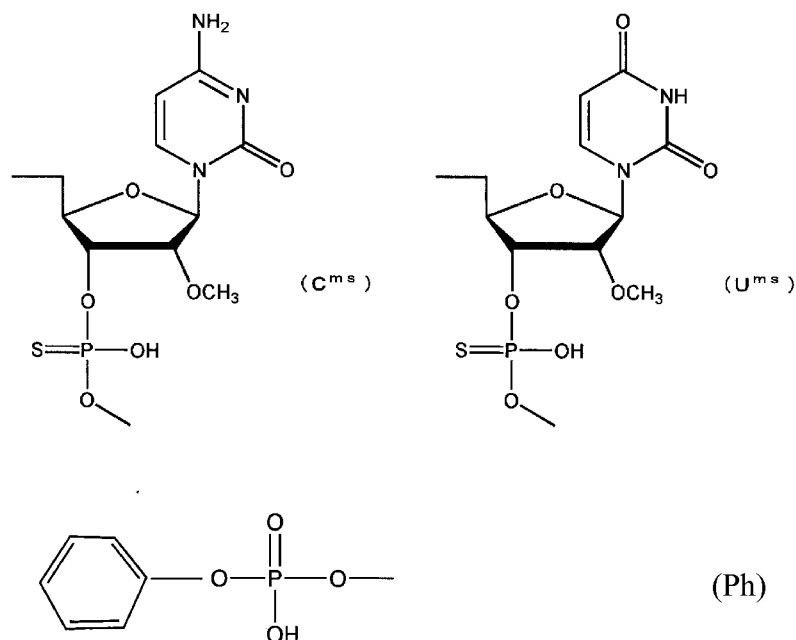
5 (V"-1)HO-A^{mp}-G^{mp}-T^{e1p}-C^{e2p}-C^{e2p}-A^{mp}-G^{mp}-G^{mp}-A^{e2p}-G^{mp}-C^{e2p}-T^{e2p}-A^{mp}-G^{mp}-G^{mp}-T^{e2p}-C^{e2p}-A^{mp}-CH₂CH₂OH; (V"-2)HO-A^{mp}-G^{mp}-T^{e1p}-C^{e1p}-C^{e1p}-A^{mp}-G^{mp}-G^{mp}-A^{e1p}-G^{mp}-C^{e1p}-T^{e1p}-A^{mp}-G^{mp}-G^{mp}-T^{e1p}-C^{e1p}-A^{mp}-CH₂CH₂OH; (V"-3)HO-A^{ms}-G^{ms}-T^{e2p}-C^{e2p}-C^{e2p}-A^{ms}-G^{ms}-G^{ms}-A^{e2p}-G^{ms}-C^{e2p}-T^{e2p}-A^{ms}-G^{ms}-G^{ms}-T^{e2p}-C^{e2p}-A^{ms}-CH₂CH₂OH; (V"-4)HO-A^{ms}-G^{ms}-T^{e1p}-C^{e1p}-C^{e1p}-A^{ms}-G^{ms}-G^{ms}-A^{e1p}-G^{ms}-C^{e1p}-T^{e1p}-A^{ms}-G^{ms}-G^{ms}-T^{e1p}-C^{e1p}-A^{ms}-CH₂CH₂OH; (V"-5)HO-A^{ms}-G^{ms}-T^{e2s}-C^{e2s}-C^{e2s}-A^{ms}-G^{ms}-G^{ms}-A^{e2s}-G^{ms}-C^{e2s}-T^{e2s}-A^{ms}-G^{ms}-G^{ms}-T^{e2s}-C^{e2s}-A^{ms}-CHOCHOH; (V"-6)HO-A^{ms}-G^{ms}-T^{e1s}-C^{e1s}-C^{e1s}-A^{ms}-G^{ms}-G^{ms}-A^{e1s}-G^{ms}-C^{e1s}-T^{e1s}-A^{ms}-G^{ms}-G^{ms}-T^{e1s}-C^{e1s}-A^{ms}-CH₂CH₂OH. Son especialmente preferibles (V"-1) y (V"-5).

10 En la presente memoria descriptiva, A^{e1p}, G^{e1p}, C^{e1p}, T^{e1p}, A^{e2p}, G^{e2p}, C^{e2p}, T^{e2p}, A^{mp}, G^{mp}, C^{mp}, U^{mp}, A^{e1s}, G^{e1s}, C^{e1s}, T^{e1s}, A^{e2s}, G^{e2s}, C^{e2s}, T^{e2s}, A^{ms}, G^{ms}, C^{ms}, U^{ms} y Ph son grupos que tienen las siguientes estructuras, respectivamente.









La expresión "sal farmacológicamente aceptable del mismo" usada en la presente memoria descriptiva se refiere a sales del oligonucleótido de la invención (por ejemplo, oligonucleótido que tiene la secuencia de nucleótidos mostrada en una cualquiera de las SEC ID N° 40 a 46) o sales de aquellos compuestos representados por las fórmulas generales (IV") y (V"). Los ejemplos de dichas sales incluyen sales de metales tales como sales de metales alcalinos (por ejemplo, sales de sodio, sales de potasio, sales de litio), sales de metales alcalino-térreos (por ejemplo, sales de calcio, sales de magnesio), sales de aluminio, sales de hierro, sales de zinc, sales de cobre, sales de níquel, sales de cobalto y similares; sales amina tales como sales inorgánicas (por ejemplo, sales de amonio), sales orgánicas [por ejemplo sales de t-octilamina, sales de dibencilamina, sales de morfolina, sales de glucosamina, sales de fenilglicina alquil éster, sales de etilendiamina, sales de N-metilglucamina, sales de guanidina, sales de dietilamina, sales de trietilamina, sales de diciclohexilamina; sales de N',N'-dibenciletilendiamina, sales de cloroprocaína, sales de procaína, sales de dietanolamina, sales de N-bencil-fenilamina, sales de piperazina, sales de tetrametilamonio, sales de tris(hidroximetil)aminometano] y similares; sales de ácidos inorgánicos tales como sales de hidroácidos halogenados (por ejemplo, fluorhidratos, clorhidratos, bromhidratos, yodhidratos), nitratos, percloratos, sulfatos, fosfatos y similares; sales de ácidos orgánicos tales como sulfonatos de alcano inferior (por ejemplo, metanosulfonatos, trifluorometanosulfonatos, etanosulfonatos), aril sulfonatos (por ejemplo, bencenosulfonatos, p-toluenosulfonatos), acetatos, malatos, fumaratos, succinatos, citratos, tartratos, oxalatos, maleatos y similares; y sales de aminoácidos (por ejemplo, sales de glicina, sales de lisina, sales de arginina, sales de ornitina, glutamatos, aspartatos). Estas sales pueden prepararse de acuerdo con métodos conocidos.

Debe apreciarse que los compuestos representados por las fórmulas generales (IV") y (V") pueden existir como hidratos y que dichos hidratos también se incluyen en la presente invención.

El oligonucleótido de la invención, los compuestos representados por las fórmulas generales (IV") y (V") (a partir de ahora en este documento, mencionados como el "compuesto de la invención") y sales farmacológicamente aceptables de los mismos son eficaces como agentes farmacéuticos para tratar la distrofia muscular.

El compuesto de la invención puede sintetizarse en base al método descrito en la bibliografía (Nucleic Acids Research, 12: 4539 (1984)) usando un sintetizador comercial (por ejemplo, PerkinElmer Modelo 392 que emplea el método de fosforoamidita). En cuanto a los reactivos de fosforoamidita usados en la síntesis, están disponibles reactivos comerciales para nucleósidos naturales y 2'-O-metilnucleósidos (es decir 2'-O-metilguanosina, 2'-O-metiladenosina, 2'-O-metilcitosina y 2'-O-metiluridina). En cuanto a 2'-O-alkil-guanosina, -adenosina, -citosina y -uridina donde el grupo alquilo tiene 2-6 átomos de carbono, pueden sintetizarse o adquirirse como se describe a continuación.

2'-O-aminoetil-guanosina, -adenosina, -citosina y -uridina pueden sintetizarse de acuerdo con Blommers et al., Biochemistry (1998), 37: 17714-17725.

2'-O-propil-guanosina, -adenosina, -citosina y -uridina pueden sintetizarse de acuerdo con Lesnik, E.A. et al., Biochemistry (1993), 32: 7832-7838.

2'-O-alil-guanosina, -adenosina, -citosina y -uridina están disponibles en el mercado.

2'-O-metoxietil-guanosina, -adenosina, -citosina y -uridina pueden sintetizarse de acuerdo con la patente de Estados Unidos N° 6261840 o Martin, P., Helv. Chim. Acta. (1995) 78: 486-504.

5 2'-O-butil-guanosina, -adenosina, -citosina y -uridina pueden sintetizarse de acuerdo con Lesnik, E.A. et al., Biochemistry (1993), 32: 7832-7838.

10 2'-O-pentil-guanosina, -adenosina, -citosina y -uridina pueden sintetizarse de acuerdo con Lesnik, E.A. et al., Biochemistry (1993), 32: 7832-7838.

2'-O-propargil-guanosina, -adenosina, -citosina y -uridina están disponibles en el mercado.

15 2'-O,4'-C-metileno-guanosina, -adenosina, 5-metil-citosina y -timidina pueden sintetizarse de acuerdo con el método descrito en el documento WO99/14226. 2'-O,4'-C-alquileo-guanosina y -adenosina donde el grupo alquileo tiene 2-5 átomos de carbono, 5-metil-citosina y -timidina pueden sintetizarse de acuerdo con el método descrito en el documento WO00/47599.

20 En la tioación de grupos fosfato, los derivados tioato pueden obtenerse en base a los métodos descritos en Tetrahedron Letters, 32, 3005 (1991) y J. Am. Chem. Soc., 112, 1253 (1990), usando azufre y un reactivo tal como disulfuro de tetraetiltiuram (TETD; Applied Biosystems) o reactivo de Beaucage (Glen Research) que reacciona con un fosfato trivalente para formar un tioato.

25 Con respecto al vidrio de poro controlado (DPG) usado en el sintetizador, el uso de un CPG modificado (descrito en el Ejemplo 12b de la publicación de patente japonesa no examinada N° H7-87982) permite la síntesis de oligonucleótidos a los cuales se ha unido un grupo 2-hidroxiethylfosfato en el extremo 3'. Además, el uso del modificador 3'-amino C3 CPG, modificador 3'-amino C7 CPG, Gliceril CPG (Glen Research), 3'-specer C3 SynBase CPG 1000 o 3'-specer C9 SynBase CPG 1000 (Link Technologies) permite la síntesis de oligonucleótidos a los cuales se ha unido un grupo hidroxialquilfosfato o grupo aminoalquilfosfato al extremo 3'.

30 Los compuestos de la presente invención y sales farmacológicamente aceptables de los mismos tienen un efecto de inducir el salto del exón 50 del gen de la distrofina. Los compuestos de la invención representados por las fórmulas generales (IV'') y (V'') y sales farmacológicamente aceptables de los mismos tienen elevada fuerza de unión a ARN y elevada resistencia a nucleasa. Por lo tanto, los compuestos de la invención y sales farmacológicamente aceptables de los mismos son útiles como agentes farmacéuticos para tratar la distrofia muscular.

35 Cuando el compuesto de la invención o una sal farmacológicamente aceptable del mismo se usa como agente terapéutico para la distrofia muscular, el compuesto o una sal farmacológicamente aceptable o éster del mismo puede administrarse por sí mismo. Como alternativa, el compuesto o una sal farmacológicamente aceptable o éster del mismo puede mezclarse con excipientes o diluyentes farmacológicamente aceptables apropiados, preparados en comprimidos, cápsulas, gránulos, polvos, jarabes, etc. y administrarse por vía oral; o prepararse en inyecciones, supositorios, parches, medicinas externas, etc. y administrarse por vía parenteral.

45 Estas formulaciones pueden prepararse por métodos bien conocidos usando aditivos tales como excipientes [excipientes orgánicos por ejemplo derivados de azúcar (tales como lactosa, azúcar blanco, glucosa, manitol y sorbitol), derivados de almidón (tal como almidón de maíz, almidón de patata, almidón α y dextrina), derivados de celulosa (tales como celulosa cristalina), goma arábica, dextrano, pululano y similares; y excipientes inorgánicos por ejemplo derivados de silicato (tales como anhídrido de ácido silícico ligero, silicato de aluminio sintético, silicato de calcio y aluminato metasilicato de magnesio), fosfatos (tales como hidrogenofosfato de calcio), carbonatos (tales como carbonato de calcio), sulfatos (tales como sulfato de calcio) y similares], lubricantes (por ejemplo, sales metálicas de ácido esteárico tal como ácido esteárico, estearato de calcio, y estearato de magnesio; talco; sílice coloidal; ceras tales como cera de abejas y espermaceti; ácido bórico; ácido adípico; sulfatos tales como sulfato sódico; glicol; ácido fumárico; benzoato sódico; DL leucina; lauril sulfatos tales como lauril sulfato sódico y lauril sulfato de magnesio; materiales de ácido silícico tales como anhídrido de ácido silícico y ácido silícico hidrato; derivados de almidón mencionados anteriormente), aglutinantes (por ejemplo, hidroxipropilcelulosa, hidroxipropilmetilcelulosa, polivinilpirrolidona, macrogol, compuestos enumerados anteriormente como excipientes), disgregantes (por ejemplo, derivados de celulosa tales como hidroxipropilcelulosa de baja sustitución, carboximetilcelulosa, carboximetilcelulosa de calcio, carboximetilcelulosa sódica reticulada de forma interna; almidones/celulosas modificadas químicamente tales como carboximetil almidón, carboximetil almidón sódico, polivinilpirrolidona reticulada), emulsionantes (por ejemplo, arcilla coloidal tal como bentonita, Veegum; hidróxidos metálicos tales como hidróxido de magnesio, hidróxido de aluminio; tensioactivos aniónicos tales como lauril sulfato sódico, estearato de calcio; tensioactivos catiónicos tales como cloruro de benzalconio; tensioactivos no iónicos tales como polioxietilén alquil éteres, ésteres de ácido graso de polioxietilén sorbitán, éster de ácido graso de sacarosa), estabilizantes (por ejemplo, ésteres de ácido paraoxibenzoico tales como metil parabeno, propil parabeno; alcoholes tales como clorobutanol, alcohol bencilico, feniletil alcohol; cloruro de benzalconio; fenoles tales como fenol, cresol; timerosal; ácido deshidroacético; ácido sórbico), agentes aromatizantes/aromáticos (por ejemplo, edulcorantes usados de

forma convencional, acidificantes, aromáticos, etc.) o diluyentes.

El agente terapéutico de la presente invención comprende preferiblemente 0,05-5 μ moles/ml del compuesto de la invención o una sal farmacológicamente aceptable del mismo, el 0,02-10% p/v de carbohidratos o alcoholes polihídricos, y el 0,01-0,4% p/v de tensioactivos farmacológicamente aceptables. Un intervalo más preferible para el contenido del compuesto de la invención o una sal farmacológicamente aceptable del mismo es 0,1-1 μ moles/ml.

Para los carbohidratos anteriores, los monosacáridos y/o disacáridos son especialmente preferibles. Ejemplos de estos carbohidratos y alcoholes polihídricos incluyen, aunque sin limitación, glucosa, galactosa, manosa, lactosa, maltosa, manitol y sorbitol. Éstos pueden usarse solos o en combinación.

Ejemplos preferibles de tensioactivos incluyen, aunque sin limitación, mono- a tri-ésteres de polioxietilen sorbitán, alquil fenil polioxietileno, taurocolato sódico, colato sódico y ésteres de alcoholes polihídricos. Son especialmente preferibles mono- a tri-ésteres de polioxietilen sorbitán, donde son ésteres especialmente preferibles oleatos, lauratos, estearatos y palmitatos. Estos tensioactivos pueden usarse solos o en combinación.

Más preferiblemente, el agente terapéutico de la invención comprende 0,03-0,09 M de sal neutra farmacológicamente aceptable, por ejemplo cloruro sódico, cloruro de potasio y/o cloruro de calcio.

Aún más preferiblemente, el agente terapéutico de la invención puede comprender 0,002-0,05 M de tampón farmacológicamente aceptable. Ejemplos de tampones preferibles incluyen citrato sódico, glicinato sódico, fosfato sódico y tris(hidroximetil)aminometano. Estos tampones pueden usarse solos o en combinación.

El agente terapéutico descrito anteriormente de la invención puede suministrarse en estado de solución. Sin embargo, considerando el almacenamiento del agente terapéutico durante algún periodo de tiempo, habitualmente, es preferible liofilizar el agente terapéutico con el fin de estabilizar el oligonucleótido antisentido y evitar de este modo la disminución de su efecto terapéutico. El agente terapéutico liofilizado puede reconstruirse con un líquido disolvente (por ejemplo, agua destilada para inyección) en el momento de uso, y usarse en estado de solución. Por tanto, el agente terapéutico de la invención abarca dicho agente terapéutico liofilizado a reconstruirse con un líquido disolvente en el momento de uso de modo que los componentes individuales estén bajo intervalos de concentración específicos. Para potenciar la solubilidad del producto liofilizado, el agente terapéutico puede contener adicionalmente albúmina o aminoácidos tales como glicina.

Cuando el compuesto de la invención o una sal farmacológicamente aceptable del mismo se administra a seres humanos, por ejemplo, el compuesto o sal puede administrarse por vía oral o intravenosa a una dosis de aproximadamente 0,1-100 mg/kg de peso corporal por día, preferiblemente 1-50 mg/kg de peso corporal por día para pacientes adultos una vez al día o dividido en varias porciones. La dosis y la cantidad de veces de administración pueden cambiarse apropiadamente dependiendo del tipo de enfermedad, condiciones, la edad del paciente, la vía de administración, etc.

La administración del compuesto de la invención o una sal farmacológicamente aceptable del mismo a pacientes con DMD puede realizarse, por ejemplo, como se describe a continuación. En resumen, el compuesto de la invención o una sal farmacológicamente aceptable del mismo puede prepararse por métodos bien conocidos para los especialistas en la técnica, esterilizarse por métodos convencionales y después formularse en, por ejemplo, una solución de inyección con una concentración de 1200 μ g/ml. Esta solución se suministra por goteo, por ejemplo, al paciente de forma intravenosa en forma de infusión de modo que el oligonucleótido antisentido se administra al paciente a una dosis de, por ejemplo, 20 mg/kg de peso corporal. Dicha administración puede repetirse, por ejemplo, 4 veces a intervalos de 2 semanas. Entonces, mientras se confirma el efecto terapéutico usando indicadores tales como la expresión de la proteína distrofina en tejidos de biopsia muscular, los niveles en suero de creatina quinasa y los síntomas clínicos, este tratamiento se repite apropiadamente. Si se reconoce el efecto terapéutico y aún no se observan efectos secundarios definidos, se continúa este tratamiento; en principio, la administración se continúa toda la vida.

La presente memoria descriptiva incluye los contenidos descritos en las memorias descriptivas y/o dibujos de las solicitudes de patente japonesa N° 2002-340857 y N° 2003-204381 basadas sobre lo cual la presente solicitud reivindica prioridad.

Breve descripción de los dibujos

La Fig. 1 muestra los efectos de los compuestos de los Ejemplos 1 a 6 (A0108, AO109, AO110, AO111, A0112 y AO113) sobre el salto del exón 50.

La Fig. 2 muestra los efectos de los compuestos de los Ejemplos 2, 4, 5 y 7 (A0109, AO111, AO112 y A0128) sobre el salto del exón 50.

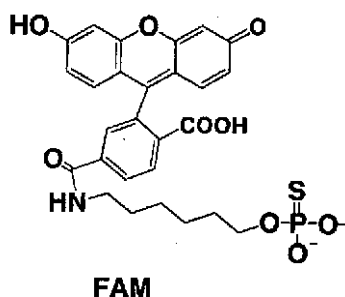
Mejores modos de realizar la invención

A partir de ahora en este documento, la presente invención se describirá específicamente con referencia a los siguientes Ejemplos. Estos Ejemplos se proporcionan solamente con fines ilustrativos, y no pretenden limitar la presente invención.

(EJEMPLO DE REFERENCIA 1) Síntesis de hAON4

hAON4 [FAM-CUG CUU CCU CCAACC (SEC ID N° 23); todos los nucleótidos son 2'-O-metilnucleótidos y están enlazados entre sí por un enlace fosforotioato] que se describe en un documento (van Deutekom, J.C.T. et al. (2001) Hum. Mol. Genet. 10, 1547-1554) y se conoce como un oligonucleótido que induce el salto del exón 46, se sintetizó de acuerdo con el documento anterior.

FAM es un grupo de fluorescencia con la siguiente estructura.



(EJEMPLO DE REFERENCIA 2) Síntesis de hAON6

hAON6 [FAM-GUU AUC UGC UUC CUC CAA CC (SEC ID N° 24); todos los nucleótidos son 2'-O-metilnucleótidos y están enlazados entre sí por un enlace fosforotioato] que se describe en un documento (van Deutekom, J.C.T. et al. (2001) Hum. Mol. Genet. 10, 1547-1554) y se conoce como un oligonucleótido que induce el salto del exón 46, se sintetizó de acuerdo con el documento anterior.

(EJEMPLO DE REFERENCIA 3)

hAON8 [FAM-GCU UUU CUU UUA GUU GCU GC (SEC ID N° 25); todos los nucleótidos son 2'-O-metilnucleótidos y están enlazados entre sí por un enlace fosforotioato] que se describe en un documento (van Deutekom, J.C.T. et al. (2001) Hum. Mol. Genet. 10, 1547-1554) y se conoce como un oligonucleótido que induce el salto del exón 46, se sintetizó de acuerdo con el documento anterior.

(EJEMPLO DE REFERENCIA 4)

Síntesis de HO-G^{mp}-A^{e1p}-A^{mp}-A^{mp}-A^{mp}-C^{e1p}-G^{mp}-C^{e1p}-C^{e1p}-G^{mp}-C^{mp}-C^{e1p}-A^{mp}-T^{e1p}-U^{mp}-U^{mp}-C^{e1p}-T^{e2p}-CH₂CH₂OH (AO100)

El presente compuesto se sintetizó con un sintetizador automático de ácidos nucleicos (sintetizador de ADN/ARN PerkinElmer ABI modelo 394) a una escala de 40 nmol. Las concentraciones de disolventes, reactivos y fosforoamiditas en ciclos individuales de síntesis fueron las mismas que las usadas en la síntesis de oligonucleótidos naturales. Los disolventes, reactivos y fosforoamiditas de 2'-O-metilnucleósido (forma adenosina: producto N° 27-1822-41; forma guanosina: producto N° 27-1826-41; forma citidina: producto N° 27-1823-02; forma uridina: producto N° 27-1825-42) fueron productos de Amersham Pharmacia. Como fosforoamiditas no naturales, se usaron aquellos compuestos descritos en el Ejemplo 55 (5'-O-dimetoxitritil-2'-O,4'-C-etileno-6-N-benzoiladenosina-3'-O-(2-cianoetil N,N-diisopropil)fosforoamidita), Ejemplo 68 (5'-O-dimetoxitritil-2'-O,4'-C-etileno-N-isobutililguanosa-3'-O-(2-cianoetil N,N-diisopropil)fosforoamidita), Ejemplo 63 (5'-O-dimetoxitritil-2'-O,4'-C-etileno-4-N-benzoil-5-metilcitidina-3'-O-(2-cianoetil N,N-diisopropil)fosforoamidita), y Ejemplo 50 (5'-O-dimetoxitritil-2'-O,4'-C-etileno-5-metiluridina-3'-O-(2-cianoetil N,N-diisopropil)fosforoamidita) de la publicación de patente japonesa no examinada N° 2000-297097. El presente compuesto se sintetizó en un vidrio de poro controlado modificado (CPG) (descrito en el Ejemplo 12b de la publicación de patente japonesa no examinada N° H7-87982) como soporte sólido. Sin embargo, el periodo de tiempo para la condensación de amiditas fue de 15 min.

El análogo oligonucleotídico protegido que tiene la secuencia de interés se trató con amoniaco acuoso concentrado para cortar de este modo el oligómero del soporte y, al mismo tiempo, retirar los grupos cianoetilo protectores en átomos de fósforo y los grupos protectores en bases de ácido nucleico. El disolvente se retiró por destilación a presión reducida, y el residuo resultante se purificó por HPLC de fase inversa [Shimadzu modelo LC-10VP; columna:

Merck, Chromolith Performance RP-18e (4,6 x 100 mm); solución A: acetonitrilo al 5%, acetato de trietilamina acuoso 0,1 M (TEAA), pH 7,0; solución B: acetonitrilo B%: 10% → 45% (8 min, gradiente lineal); 60°C; 2 ml/min; 254 nm]. Se recogió la fracción eluida a 6,55 min. Después de retirar por destilación el disolvente a presión reducida, se añadió solución acuosa de ácido acético al 80% al residuo, que después se dejó durante 20 min para retirar el grupo DMTr. Después de retirar por destilación el disolvente, el residuo resultante se disolvió en 0,5 ml de agua y se filtró con Ultrafree-MC (Millipore: producto N° UFC4 OHV 25). El disolvente se retiró por destilación para obtener de este modo el compuesto de interés (1,40 unidades A₂₆₀) (λ_{max} (H₂O) = 264 nm). Cuando se analizó por HPLC de fase inversa [columna: Merck, Chromolith Performance RP-18e (4,6 x 100 mm); solución A: acetonitrilo al 5%, acetato de trietilamina acuoso 0,1 M (TEAA), pH 7,0; solución B: acetonitrilo al 25%, TEAA 0,1 M B%: 20% → 100% (10 min, gradiente lineal); 60°C; 2 ml/min; 254 nm], el presente compuesto se eluyó a 5,40 min. El compuesto se identificó por análisis espectrométrico de masas ESI de iones negativos (valor calculado: 6246,28; valor medido: 6245,68).

La secuencia de nucleótidos del presente compuesto es complementaria a los nucleótidos N° 6555-6572 del ADNc de la distrofina (N° de acceso a Gene Bank NM_004006.1).

(EJEMPLO 1)

Síntesis de HO-C^{mp}-T^{e2p}-C^{e2p}-A^{mp}-G^{mp}-A^{mp}-T^{e2p}-C^{e2p}-U^{mp}-U^{mp}-C^{e2p}-T^{e2p}-A^{mp}-A^{mp}-C^{e2p}-U^{mp}-U^{mp}-C^{e2p}-CH₂CH₂OH (AO108)

El compuesto del Ejemplo 1 que tiene una secuencia de interés se sintetizó del mismo modo en que se sintetizó el compuesto del Ejemplo de referencia 4. Después de la desprotección, el producto resultante se purificó por HPLC de fase inversa [Shimadzu modelo LC-10VP; columna: Merck, Chromolith Performance RP-18e (4,6 x 100 mm); solución A: acetonitrilo al 5%, acetato de trietilamina acuoso 0,1 M (TEAA), pH 7,0; solución B: acetonitrilo B%: 10% → 45% (8 min, gradiente lineal); 60°C; 2 ml/min; 254 nm]. Se recogió la fracción eluida a 6,74 min. Después de retirar el disolvente por destilación a presión reducida, se añadió solución acuosa de ácido acético al 80% al residuo, que después se dejó durante 20 min para retirar el grupo DMTr. Después de retirar por destilación el disolvente, el residuo resultante se disolvió en 0,5 ml de agua y se filtró con Ultrafree-MC (Millipore: producto N° UFC4 OHV 25). El disolvente se retiró por destilación para obtener de este modo el compuesto de interés (4,91 unidades A₂₆₀) (λ_{max} (H₂O) = 263 nm). Cuando se analizó por HPLC de fase inversa [columna: Merck, Chromolith Performance RP-18e (4,6 x 100 mm); solución A: acetonitrilo al 5%, acetato de trietilamina acuoso 0,1 M (TEAA), pH 7,0; solución B: acetonitrilo al 25%, TEAA 0,1 M B%: 20% → 100% (10 min, gradiente lineal); 60°C; 2 ml/min; 254 nm], el presente compuesto se eluyó a 5,94 min. El compuesto se identificó por análisis espectrométrico de masas ESI de iones negativos (valor calculado: 6159,18; valor medido: 6159,35).

La secuencia de nucleótidos del presente compuesto es complementaria a los nucleótidos N° 7447-7464 del ADNc de la distrofina (N° de acceso a Gene Bank NM_004006.1).

(EJEMPLO 2)

Síntesis de HO-A^{mp}-C^{e2p}-C^{e2p}-G^{mp}-C^{mp}-C^{e2p}-T^{e2p}-U^{mp}-C^{mp}-C^{e2p}-A^{mp}-C^{mp}-T^{e2p}-C^{e2p}-A^{mp}-G^{mp}-A^{e2p}-G^{mp}-CH₂CH₂OH (AO109)

El compuesto del Ejemplo 2 que tiene una secuencia de interés se sintetizó del mismo modo que se sintetizó el compuesto del Ejemplo de referencia 4. Después de la desprotección, el producto resultante se purificó por HPLC de fase inversa [Shimadzu modelo LC-10VP; columna: Merck, Chromolith Performance RP-18e (4,6 x 100 mm); solución A: acetonitrilo al 5%, acetato de trietilamina acuoso 0,1 M (TEAA), pH 7,0; solución B: acetonitrilo B%: 10% → 45% (8 min, gradiente lineal); 60°C; 2 ml/min; 254 nm]. Se recogió la fracción eluida a 6,72 min. Después de retirar el disolvente por destilación a presión reducida, se añadió solución acuosa de ácido acético al 80% al residuo, que después se dejó durante 20 min para retirar el grupo DMTr. Después de retirar por destilación el disolvente, el residuo resultante se disolvió en 0,5 ml de agua y se filtró con Ultrafree-MC (Millipore: producto N° UFC4 OHV 25). El disolvente se retiró por destilación para obtener de este modo el compuesto de interés (3,30 unidades A₂₆₀) (λ_{max} (H₂O) = 261 nm). Cuando se analizó por HPLC de fase inversa [columna: Merck, Chromolith Performance RP-18e (4,6 x 100 mm); solución A: acetonitrilo al 5%, acetato de trietilamina acuoso 0,1 M (TEAA), pH 7,0; solución B: acetonitrilo al 25%, TEAA 0,1 M B%: 20% → 100% (10 min, gradiente lineal); 60°C; 2 ml/min; 254 nm], el presente compuesto se eluyó a 5,53 min. El compuesto se identificó por análisis espectrométrico de masas ESI de iones negativos (valor calculado: 6221,27; valor medido: 6220,43).

La secuencia de nucleótidos del presente compuesto es complementaria a los nucleótidos N° 7465-7482 del ADNc de la distrofina (N° de acceso a Gene Bank NM_004006.1).

(EJEMPLO 3)

Síntesis de HO-T^{e2p}-C^{mp}-T^{e2p}-T^{e2p}-G^{mp}-A^{mp}-A^{mp}-G^{mp}-T^{e2p}-p-A^{mp}-A^{e2p}-A^{mp}-C^{e2p}-G^{mp}-G^{mp}-T^{e2p}-U^{mp}-T^{e2p}-CH₂CH₂OH (AO110)

El compuesto del Ejemplo 3 que tiene una secuencia de interés se sintetizó del mismo modo que se sintetizó el compuesto del Ejemplo de referencia 4. Después de la desprotección, el producto resultante se purificó por HPLC de fase inversa [Shimadzu modelo LC-10VP; columna: Merck, Chromolith Performance RP-18e (4,6 x 100 mm); solución A: acetonitrilo al 5%, acetato de trietilamina acuoso 0,1 M (TEAA), pH 7,0; solución B: acetonitrilo B%: 10% → 45% (10 min, gradiente lineal); 60°C; 2 ml/min; 254 nm]. Se recogió la fracción eluida a 7,18 min. Después de retirar el disolvente por destilación a presión reducida, se añadió solución acuosa de ácido acético al 80% al residuo, que después se dejó durante 20 min para retirar el grupo DMTr. Después de retirar por destilación el disolvente, el residuo resultante se disolvió en 0,5 ml de agua y se filtró con Ultrafree-MC (Millipore: producto N° UFC4 OHV 25). El disolvente se retiró por destilación para obtener de este modo el compuesto de interés (3,92 unidades A₂₆₀) (λ_{max} (H₂O) = 258 nm). Cuando se analizó por HPLC de fase inversa [columna: Merck, Chromolith Performance RP-18e (4,6 x 100 mm); solución A: acetonitrilo al 5%, acetato de trietilamina acuoso 0,1 M (TEAA), pH 7,0; solución B: acetonitrilo al 25%, TEAA 0,1 M B%: 20% → 100% (10 min, gradiente lineal); 60°C; 2 ml/min; 254 nm], el presente compuesto se eluyó a 5,66 min. El compuesto se identificó por análisis espectrométrico de masas ESI de iones negativos (valor calculado: 6289,26; valor medido: 6288,99).

La secuencia de nucleótidos del presente compuesto es complementaria a los nucleótidos N° 7483-7500 del ADNc de la distrofina (N° de acceso a Gene Bank NM_004006.1).

(EJEMPLO 4)

Síntesis de HO-G^{mp}-G^{mp}-C^{e2p}-T^{e2p}-G^{mp}-C^{mp}-T^{e2p}-T^{e2p}-U^{mp}-G^{mp}-C^{e2p}-C^{mp}-C^{mp}-T^{e2p}-C^{e2p}-A^{mp}-G^{mp}-C^{e2p}-CH₂CH₂OH (AO111)

El compuesto del Ejemplo 4 que tiene una secuencia de interés se sintetizó del mismo modo que se sintetizó el compuesto del Ejemplo de referencia 4. Después de la desprotección, el producto resultante se purificó por HPLC de fase inversa [Shimadzu modelo LC-10VP; columna: Merck, Chromolith Performance RP-18e (4,6 x 100 mm); solución A: acetonitrilo al 5%, acetato de trietilamina acuoso 0,1 M (TEAA), pH 7,0; solución B: acetonitrilo B%: 10% → 45% (8 min, gradiente lineal); 60°C; 2 ml/min; 254 nm]. Se recogió la fracción eluida a 5,91 min. Después de retirar el disolvente por destilación a presión reducida, se añadió solución acuosa de ácido acético al 80% al residuo, que después se dejó durante 20 min para retirar el grupo DMTr. Después de retirar por destilación el disolvente, el residuo resultante se disolvió en 0,5 ml de agua y se filtró con Ultrafree-MC (Millipore: producto N° UFC4 OHV 25). El disolvente se retiró por destilación para obtener de este modo el compuesto de interés (9,48 unidades A₂₆₀) (λ_{max} (H₂O) = 260 nm). Cuando se analizó por HPLC de fase inversa [columna: Merck, Chromolith Performance RP-18e (4,6 x 100 mm); solución A: acetonitrilo al 5%, acetato de trietilamina acuoso 0,1 M (TEAA), pH 7,0; solución B: acetonitrilo al 25%, TEAA 0,1 M B%: 20% → 100% (10 min, gradiente lineal); 60°C; 2 ml/min; 254 nm], el presente compuesto se eluyó a 4,81 min. El compuesto se identificó por análisis espectrométrico de masas ESI de iones negativos (valor calculado: 6245,24; valor medido: 6244,86).

La secuencia de nucleótidos del presente compuesto es complementaria a los nucleótidos N° 7501-7518 del ADNc de la distrofina (N° de acceso a Gene Bank NM_004006.1).

(EJEMPLO 5)

Síntesis de HO-A^{mp}-G^{mp}-T^{e2p}-C^{e2p}-C^{e2p}-A^{mp}-G^{mp}-G^{mp}-A^{e2p}-G^{mp}-C^{e2p}-T^{e2p}-A^{mp}-G^{mp}-G^{mp}-T^{e2p}-C^{e2p}-A^{mp}-CH₂CH₂OH (AO112)

El compuesto del Ejemplo 5 que tiene una secuencia de interés se sintetizó del mismo modo que se sintetizó el compuesto del Ejemplo de referencia 4. Después de la desprotección, el producto resultante se purificó por HPLC de fase inversa [Shimadzu modelo LC-10VP; columna: Merck, Chromolith Performance RP-18e (4,6 x 100 mm); solución A: acetonitrilo al 5%, acetato de trietilamina acuoso 0,1 M (TEAA), pH 7,0; solución B: acetonitrilo B%: 10% → 45% (8 min, gradiente lineal); 60°C; 2 ml/min; 254 nm]. Se recogió la fracción eluida a 6,00 min. Después de retirar el disolvente por destilación a presión reducida, se añadió solución acuosa de ácido acético al 80% al residuo, que después se dejó durante 20 min para retirar el grupo DMTr. Después de retirar por destilación el disolvente, el residuo resultante se disolvió en 0,5 ml de agua y se filtró con Ultrafree-MC (Millipore: producto N° UFC4 OHV 25). El disolvente se retiró por destilación para obtener de este modo el compuesto de interés (0,200 unidades A₂₆₀) (λ_{max} (H₂O) = 253 nm). Cuando se analizó por HPLC de fase inversa [columna: Merck, Chromolith Performance RP-18e (4,6 x 100 mm); solución A: acetonitrilo al 5%, acetato de trietilamina acuoso 0,1 M (TEAA), pH 7,0; solución B: acetonitrilo al 25%, TEAA 0,1 M B%: 20% → 100% (10 min, gradiente lineal); 60°C; 2 ml/min; 254 nm], el presente compuesto se eluyó a 4,33 min. El compuesto se identificó por análisis espectrométrico de masas ESI de iones negativos (valor calculado: 6365,37; valor medido: 6365,99).

La secuencia de nucleótidos del presente compuesto es complementaria a los nucleótidos N° 7519-7536 del ADNc de la distrofina (N° de acceso a Gene Bank NM_004006.1).

(EJEMPLO 6)

Síntesis de HO-G^{mp}-C^{e2p}-T^{e2p}-C^{mp}-C^{e2p}-A^{mp}-A^{mp}-T^{e2p}-A^{mp}-G^{mp}-T^{e2p}-G^{mp}-G^{mp}-T^{e2p}-C^{e2p}-A^{mp}-G^{mp}-T^{e2p}-CH₂CH₂OH
(AO113)

5 El compuesto del Ejemplo 6 que tiene una secuencia de interés se sintetizó del mismo modo que se sintetizó el compuesto del Ejemplo de referencia 4. Después de la desprotección, el producto resultante se purificó por HPLC de fase inversa [Shimadzu modelo LC-10VP; columna: Merck, Chromolith Performance RP-18e (4,6 x 100 mm); solución A: acetonitrilo al 5%, acetato de trietilamina acuoso 0,1 M (TEAA), pH 7,0; solución B: acetonitrilo B%: 10%
10 → 45% (8 min, gradiente lineal); 60°C; 2 ml/min; 254 nm]. Se recogió la fracción eluida a 5,22 min. Después de retirar el disolvente por destilación a presión reducida, se añadió solución acuosa de ácido acético al 80% al residuo, que después se dejó durante 20 min para retirar el grupo DMTr. Después de retirar por destilación el disolvente, el residuo resultante se disolvió en 0,5 ml de agua y se filtró con Ultrafree-MC (Millipore: producto N° UFC4 OHV 25). El disolvente se retiró por destilación para obtener de este modo el compuesto de interés (4,96 unidades A₂₆₀) (λ_{max} (H₂O) = 260 nm). Cuando se analizó por HPLC de fase inversa [columna: Merck, Chromolith Performance RP-18e (4,6 x 100 mm); solución A: acetonitrilo al 5%, acetato de trietilamina acuoso 0,1 M (TEAA), pH 7,0; solución B: acetonitrilo al 25%, TEAA 0,1 M B%: 20% → 100% (10 min, gradiente lineal); 60°C; 2 ml/min; 254 nm], el presente compuesto se eluyó a 4,96 min. El compuesto se identificó por análisis espectrométrico de masas ESI de iones negativos (valor calculado: 6317,31; valor medido: 6317,06).

La secuencia de nucleótidos del presente compuesto es complementaria a los nucleótidos N° 7534-7551 del ADNc de la distrofina (N° de acceso a Gene Bank NM_004006.1).

(EJEMPLO 7)

Síntesis de HO-G^{mp}-C^{e2p}-T^{e2p}-A^{mp}-G^{mp}-G^{mp}-T^{e2p}-C^{e2p}-A^{mp}-G^{mp}-G^{mp}-C^{e2p}-T^{e2p}-G^{mp}-C^{mp}-T^{e2p}-T^{e2p}-U^{mp}-CH₂CH₂OH
(AO128)

30 El compuesto del Ejemplo 7 que tiene una secuencia de interés se sintetizó del mismo modo que se sintetizó el compuesto del Ejemplo de referencia 4. Después de la desprotección, el producto resultante se purificó por HPLC de fase inversa [Shimadzu modelo LC-10VP; columna: Merck, Chromolith Performance RP-18e (4,6 x 100 mm); solución A: acetonitrilo al 5%, acetato de trietilamina acuoso 0,1 M (TEAA), pH 7,0; solución B: acetonitrilo B%: 10%
35 → 45% (8 min, gradiente lineal); 60°C; 2 ml/min; 254 nm]. Se recogió la fracción eluida a 5,61 min. Después de retirar el disolvente por destilación a presión reducida, se añadió solución acuosa de ácido acético al 80% al residuo, que después se dejó durante 20 min para retirar el grupo DMTr. Después de retirar por destilación el disolvente, el residuo resultante se disolvió en 0,5 ml de agua y se filtró con Ultrafree-MC (Millipore: producto N° UFC4 OHV 25). El disolvente se retiró por destilación para obtener de este modo el compuesto de interés (1,11 unidades A₂₆₀). Cuando se analizó por HPLC de fase inversa [columna: Merck, Chromolith Performance RP-18e (4,6 x 100 mm); solución A: acetonitrilo al 5%, acetato de trietilamina acuoso 0,1 M (TEAA), pH 7,0; solución B: acetonitrilo al 25%,
40 TEAA 0,1 M B%: 20% → 80% (8 min, gradiente lineal); 60°C; 2 ml/min; 254 nm], el presente compuesto se eluyó a 5,59 min. El compuesto se identificó por análisis espectrométrico de masas ESI de iones negativos (valor calculado: 6310,27; valor medido: 6310,33).

La secuencia de nucleótidos del presente compuesto es complementaria a los nucleótidos N° 7510-7527 del ADNc de la distrofina (N° de acceso a Gene Bank NM_004006.1).

(EJEMPLO 8)

Síntesis de HO A^{ms}-C^{e2s}-C^{e2s}-G^{ms}-C^{ms}-C^{e2s}-T^{e2s}-U^{ms}-C^{ms}-C^{e2s}-A^{ms}-C^{ms}-T^{e2s}-C^{e2s}-A^{ms}-G^{ms}-A^{e2s}-G^{ms}-CH₂CH₂OH
(AO135)

55 El compuesto del Ejemplo 8 que tiene una secuencia de interés se sintetizó del mismo modo que se sintetizó el compuesto del Ejemplo de referencia 4. Sin embargo, la parte con un enlace fosforotioato se sulfuró tratando con una solución mixta de hidruro de xantano 0,02 M/acetonitrilo-piridina (mezcla 9:1) durante 15 min, en lugar de la etapa de oxidación con yodo-H₂O. Después de la desprotección, el producto resultante se purificó por HPLC de fase inversa [Shimadzu modelo LC-10VP; columna: Merck, Chromolith Performance RP-18e (4,6 x 100 mm); solución A: acetonitrilo al 5%, acetato de trietilamina acuoso 0,1 M (TEAA), pH 7,0; solución B: acetonitrilo B%: 10% → 45% (8 min, gradiente lineal); 60°C; 2 ml/min; 254 nm]. Se recogió la fracción eluida a 6,87 min. Después de retirar el disolvente por destilación a presión reducida, se añadió solución acuosa de ácido acético al 80% al residuo, que después se dejó durante 20 min para retirar el grupo DMTr. Después de retirar por destilación el disolvente, el residuo resultante se disolvió en 0,5 ml de agua y se filtró con Ultrafree-MC (Millipore: producto N° UFC4 OHV 25). El disolvente se retiró por destilación para obtener de este modo el compuesto de interés (9,06 unidades A₂₆₀). Cuando se analizó por HPLC de intercambio iónico [columna: Tosoh TSK-gel DEAE-5PW (7,5 x 75 mm); solución A: acetonitrilo al 20%; solución B: acetonitrilo al 20%, tampón fosfato 67 mM (pH 6,8), KBr 1,5 M; gradiente: solución B
65 20 → 80% (10 min, gradiente lineal); 40°C; 2 ml/min], el presente compuesto se eluyó a 6,92 min.

La secuencia de nucleótidos del presente compuesto es complementaria a los nucleótidos N° 7465-7482 del ADNc de la distrofina (N° de acceso a Gene Bank NM_004006.1).

5 (EJEMPLO DE ENSAYO) Método para el análisis de la capacidad de inducción del salto de exón por ENA antisentido

Preparación de cultivo primario de células mioblásticas

10 Se estableció un cultivo primario de células mioblásticas como se describe a continuación.

1. Se cortaron muestras de tejido muscular tomadas del músculo recto del muslo de pacientes con distrofia muscular de Duchenne en trozos finos y se lavaron con PBS dos veces.
2. El tejido muscular de 1 anterior se trató con Difco Bacto™ triptona 250 (solución al 5% en PBS) a 37°C durante 30 min para obtener de este modo células libres enzimáticamente.
- 15 3. Las células libres de 2 anterior se lavaron con DMEM (que contenía FBS al 20%) dos veces.
4. Las células de 3 anterior se suspendieron en DMEM (que contenía FBS al 20% y ultroser G al 4%).
5. Las células en suspensión de 4 se pasaron a través de una malla (Becton Dickinson: filtro celular 35-2360) para recuperar solamente células libres.
6. Las células recuperadas de 5 anterior se sembraron en placas recubiertas con gelatina.
- 20 7. Las células se cultivaron a 37°C en una atmósfera de CO₂ al 5% en aire.

Inducción de diferenciación

25 La diferenciación de las células musculares se indujo como se describe a continuación.

1. Las células cultivadas obtenidas anteriormente se sembraron en placas de 6 pocillos (recubiertas con gelatina). Cuando las células se hicieron confluentes, se intercambié el medio con DMEM (que contenía suero de caballo al 2% (HS)).
- 30 2. Después de un cultivo de 4 días, las células se transfectaron con los compuestos preparados en los Ejemplos (ENA) como se describe a continuación.

Transfección de ENA

35 Las células mioblásticas se transfectaron con los compuestos preparados en los Ejemplos (ENA) como se describe a continuación.

1. Se disolvieron 200 pmol de cada uno de los compuestos preparados en los Ejemplos (10 µg/20 µl de milliQ) en 100 µl de Opti-MEM (GIBCO-BRL).
- 40 2. Se añadieron 6 µl de reactivo Plus (GIBCO-BRL) a la solución de 1 anterior, que después se dejó a temperatura ambiente durante 15 min.
3. En otro tubo, se disolvieron 8 µl de Lipofectamina (GIBCO-BRL) en 100 µl de Opti-MEM.
4. Después de completar el tratamiento de 2 anterior, la solución de 3 anterior se añadió a la solución de 2 anterior. La solución resultante se dejó a temperatura ambiente durante otros 15 min.
- 45 5. Las células mioblásticas 4 días después del inicio de la inducción de diferenciación se lavaron con PBS una vez. Después, se añadieron 800 µl de Opti-MEM a las mismas.
6. Después de completar el tratamiento de 4 anterior, la solución tratada se añadió a las células de 5 anterior.
7. Las células de 6 anterior se cultivaron a 37°C en una atmósfera de CO₂ al 5% en aire durante 3 h. Después, se añadieron 500 µl de DMEM (que contenía HS al 6%) a cada pocillo.
8. Las células se cultivaron adicionalmente.
- 50

Extracción de ARN

Se extrajo el ARN como se describe a continuación.

- 55 1. Las células transfectadas con ENA se cultivaron durante 2 días y después se calentaron con PBS una vez. A estas células, se añadieron 500 µl de ISOGEN (Nippon Gene).
2. Las células se dejaron a temperatura ambiente durante 5 min, seguido de recuperación de ISOGEN en cada pocillo en tubos.
3. Se extrajo el ARN de acuerdo con el protocolo de ISOGEN (Nippon Gene).
- 60 4. Finalmente, se disolvió el ARN en 20 µl de DEPW.

Transcripción inversa

65 La transcripción inversa se realizó como se describe a continuación.

1. A 2 µg de ARN, se añadió DEPW (agua esterilizada tratada con dietilpirocarbonato) para hacer una solución de 6 µl.
2. A la solución de 1 anterior, se añadieron 2 µl de hexámero aleatorio (Invitrogen: 3 µg/µl de producto se diluyó a factor 20 antes de su uso).
3. La solución resultante se calentó a 65° durante 10 min.
4. Después, la solución se enfrió en hielo durante 2 min.
5. A la solución de reacción anterior, se añadió lo siguiente:
 - transcriptasa inversa MMLV (Invitrogen: 200 U/µl) 1 µl
 - inhibidor de ribonucleasa placentaria humana (Takara: 40 U/µl) 1 µl
 - DTT (adjuntado a transcriptasa inversa MMLV) 1 µl
 - tampón (adjuntado a transcriptasa inversa MMLV) 4 µl
 - dNTP (adjuntado a Takara Ex Taq) 5 µl
6. La solución resultante se mantuvo a 37°C durante 1 h, y después se calentó a 95°C durante 5 min.
7. Después de la reacción, la solución se almacenó a -80°C.

Reacción de PCR

- 20 La reacción de PCR se realizó como se describe a continuación.
1. Se mezclaron los siguientes componentes y después se calentaron a 94°C durante 4 min.
 - Producto de transcripción inversa 3 µl
 - Cebador directo (10 pmol/µl) 1 µl
 - Cebador inverso (10 pmol/µl) 1 µl
 - dNTP (adjuntados a TAKARA Ex Taq) 2 µl
 - Tampón (adjuntado a TAKARA Ex Taq) 2 µl
 - Ex Taq (TAKARA) 0,1 µl
 - Agua esterilizada 11 µl
 2. Después del tratamiento mencionado anteriormente a 94°C durante 4 min, se realizaron 35 ciclos de 94°C durante 1 min/60°C durante 1 min/72°C durante 3 min.
 3. Después, la solución de reacción se calentó a 72°C durante 7 min.
- Las secuencias de nucleótidos de los cebadores directo e inverso usados en las reacciones de PCR para detectar el salto del exón 50 son como se describe a continuación. Exón 50:
- Directo: 5'-CAAGGAGAAATTGAAGCTCAA-3' (exón 48) (SEC ID N° 81)
 Inverso: 5'-CGATCCGTAATGATTGTTCTAGC-3' (exón 52) (SEC ID N° 82)
3. El producto de PCR se analizó por electroforesis en gel de agarosa al 2%.
- El gel resultante se tiñó con bromuro de etidio. La banda resultante (A) (donde estaba saltado un exón) y la banda (B) (donde no estaba saltado un exón) se visualizaron con un dispositivo de fotografiado de gel (Printgraph Modelo AE-6911FXFD; ATTO) y se determinaron cuantitativamente con ATTO Densitograph ver.4.1 para Macintosh. Los valores obtenidos se pusieron en la fórmula $A/(A+B) \times 100$ para obtener la eficacia de salto (%). 5. La banda donde había sucedido salto se cortó, y el producto de PCR se subclonó en el vector pT7 Blue-T (Novagen), seguido de reacción de secuenciación con el kit Thermo Sequenase TM II dye terminator cycle sequencing (Amersham Pharmacia Biotec) y la confirmación de la secuencia de nucleótidos con ABI PRISM 310 Genetic Analyzer (Applied Biosystems). Los procedimientos de reacción fueron de acuerdo con el manual adjuntado al kit.

50 [Resultados]

Las Fig. 1 y 2 muestran ejemplos de salto del exón 50 inducido por los compuestos A0108-113 y A0128. En la Fig. 2, se realizó el ensayo en condiciones en que la concentración de los compuestos fuera 40 pmol/ml. Como se muestra en estas Figuras, se observó salto del exón 50 cuando se usaban estos compuestos.

(EJEMPLO DE FORMULACIÓN 1)

De acuerdo con la siguiente prescripción, se mezclaron y disolvieron cantidades necesarias de componentes base. A esta solución, se disuelve uno cualquiera de los compuestos de los Ejemplos 1 a 8 o una sal de los mismos para preparar una solución de un volumen específico. La solución resultante se filtra con un filtro de membrana de 0,22 µm de tamaño de poro para obtener de este modo una preparación para administración intravenosa.

Uno cualquiera de los compuestos de los Ejemplos 1 a 8 o una sal de los mismos	500 mg
Cloruro sódico	8,6 g
65 Cloruro de potasio	0,3 g

Cloruro de calcio 0,33 g
 Agua destilada para inyección para dar un volumen total de 1000 ml

(EJEMPLO DE FORMULACIÓN 2)

5 De acuerdo con la siguiente prescripción, se mezclaron y disolvieron cantidades necesarias de componentes base. A esta solución, se disuelve uno cualquiera de los compuestos de los Ejemplos 1 a 8 o una sal de los mismos para preparar una solución de un volumen específico. La solución resultante se filtra con un filtro de 15 nm de tamaño de poro (PLANOVE 15: Asahi Kasei) para obtener de este modo una preparación para administración intravenosa.

10 Uno cualquiera de los compuestos de los Ejemplos 1 a 8 o una sal de los mismos 100 mg
 Cloruro sódico 8,3 g
 Cloruro de potasio 0,3 g
 Cloruro de calcio 0,33 g
 15 Hidrogenofosfato sódico · 12H₂O 1,8 g
 1N HCl cantidad apropiada (pH 7,4)
 Agua destilada para inyección para dar un volumen total de 1000 ml

(EJEMPLO DE FORMULACIÓN 3)

20 De acuerdo con la siguiente prescripción, se mezclaron y disolvieron cantidades necesarias de componentes base. A esta solución, se disuelve uno cualquiera de los compuestos de los Ejemplos 1 a 8 o una sal de los mismos para preparar una solución de un volumen específico. La solución resultante se filtra con un filtro de 35 nm de tamaño de poro (PLANOVE 35: Asahi Kasei) para obtener de este modo una preparación para administración intravenosa.

25 Uno cualquiera de los compuestos de los Ejemplos 1 a 8 o una sal de los mismos 100 mg
 Cloruro sódico 8,3 g
 Cloruro de potasio 0,3 g
 Cloruro de calcio 0,33 g
 30 Glucosa 0,4 g
 Hidrogenofosfato sódico · 12H₂O 1,8 g
 1N HCl cantidad apropiada (pH 7,4)
 Agua destilada para inyección para dar un volumen total de 1000 ml

35 **Aplicabilidad industrial**

Los compuestos de la presente invención y sales farmacológicamente aceptables de los mismos tienen un efecto de inducir el salto del exón 50 del gen de la distrofina y por tanto son útiles como agentes farmacéuticos para tratar la distrofia muscular.

40 **Texto de libre de lista de secuencias**

La SEC ID N° 23 muestra la secuencia de nucleótidos del oligonucleótido preparado en el Ejemplo de referencia 1. La SEC ID N° 24 muestra la secuencia de nucleótidos del oligonucleótido preparado en el Ejemplo de referencia 2. 45 La SEC ID N° 25 muestra la secuencia de nucleótidos del oligonucleótido preparado en el Ejemplo de referencia 3. La SEC ID N° 30 muestra la secuencia de nucleótidos del oligonucleótido preparado en el Ejemplo de referencia 4 (AO100). La SEC ID N° 40 muestra la secuencia de nucleótidos del oligonucleótido preparado en el Ejemplo 1 (AO108). La SEC ID N° 41 muestra la secuencia de nucleótidos de los oligonucleótidos preparados en los Ejemplos 2 y 8 (AO109 y AO135). La SEC ID N° 42 muestra la secuencia de nucleótidos del oligonucleótido preparado en el 50 Ejemplo 3 (AO110). La SEC ID N° 43 muestra la secuencia de nucleótidos del oligonucleótido preparado en el Ejemplo 4 (AO111). La SEC ID N° 44 muestra la secuencia de nucleótidos del oligonucleótido preparado en el Ejemplo 5 (AO112). La SEC ID N° 45 muestra la secuencia de nucleótidos del oligonucleótido preparado en el Ejemplo 6 (AO113). La SEC ID N° 46 muestra la secuencia de nucleótidos del oligonucleótido preparado en el Ejemplo 7 (AO128). La SEC ID N° 81 muestra la secuencia de nucleótidos del cebador directo (para la reacción de 55 PCR para detectar el salto del exón 50) usado en el Ejemplo de ensayo. La SEC ID N° 82 muestra la secuencia de nucleótidos del cebador inverso (para la reacción de PCR para detectar el salto del exón 50) usado en el Ejemplo de ensayo.

LISTADO DE SECUENCIAS

60 <110> Kobe University SANKYO CO., LTD.
 <120> Compuestos farmacéuticos de ácido nucleico ENA que pueden modificar el corte y empalme de 65 precursores de ARNm
 <130> N94646A

<150> JP 2002-340857
 <151> 25-11-2002

5 <150> JP 2003-204381
 <151> 31-07-2003

<160> 88

10 <170> PatentIn versión 3.1

<210> 1
 <211> 31
 <212> ADN
 <213> Oligonucleótido sintético

15 <400> 1
 gcctgagctg atctgctggc atctgcagt t 31

20 <210> 2
 <211> 15
 <212> ADN
 <213> Oligonucleótido sintético

25 <400> 2
 gatctgctgg catct 15

30 <210> 3
 <211> 22
 <212> ADN
 <213> Oligonucleótido sintético

<400> 3
 gatctgctgg catctgcag tt 22

35 <210>4
 <211> 19
 <212> ADN
 <213> Oligonucleótido sintético

40 <400> 4
 agctgatctg ctggcatct 19

45 <210> 5
 <211> 24
 <212> ADN
 <213> Oligonucleótido sintético

50 <400>5
 gcctgagctg atctgctggc atct 24

<210> 6
 <211> 20
 <212> ADN
 <213> Oligonucleótido sintético

55 <400> 6
 gatctgctgg catctgcag 20

60 <210> 7
 <211> 18
 <212> ADN
 <213> Oligonucleótido sintético

65 <400> 7
 gatctgctgg catctgc 18

<210> 8
 <211> 21
 <212> ADN
 <213> Oligonucleótido sintético
 5
 <400> 8
 gcatgctcaa gaggaactc c 21
 <210> 9
 <211> 21
 <212> ADN
 <213> Oligonucleótido sintético
 10
 <400> 9
 tagcaactgg cagaattcga t 21
 <210> 10
 <211> 23
 <212> ADN
 <213> Oligonucleótido sintético
 20
 <400> 10
 agttgagtct tcgaaactga gca 23
 <210> 11
 <211> 18
 <212> ADN
 <213> Oligonucleótido sintético
 25
 <400> 11
 aaactgagca aattgct 18
 <210> 12
 <211> 18
 <212> ADN
 <213> Oligonucleótido sintético
 35
 <400> 12
 ttgagtcttc aaaactga 18
 <210> 13
 <211> 18
 <212> ADN
 <213> Oligonucleótido sintético
 40
 <400> 13
 gtgcaaagtt gagtcttc 18
 <210> 14
 <211> 15
 <212> ADN
 <213> Oligonucleótido sintético
 50
 <400> 14
 gccgctgccc aatgc 15
 <210> 15
 <211> 18
 <212> ADN
 <213> Oligonucleótido sintético
 60
 <400> 15
 cgctgcccga tgccatcc 18
 <210> 16
 <211> 18

<212> ADN
 <213> Oligonucleótido sintético

5 <400> 16
 cagtttgccg ctgcccaa 18

10 <210> 17
 <211> 18
 <212> ADN
 <213> Oligonucleótido sintético

15 <400> 17
 tgttctgaca acagttg 18

20 <210> 18
 <211> 20
 <212> ADN
 <213> Oligonucleótido sintético

25 <400> 18
 gctttcctt tagtgctgc 20

30 <210> 19
 <211> 22
 <212> ADN
 <213> Oligonucleótido sintético

35 <400> 19
 cttttagtg ctgctcttt cc 22

40 <210> 20
 <211> 18
 <212> ADN
 <213> Oligonucleótido sintético

45 <400> 20
 ttccaggt tcaagtgg 18

50 <210> 21
 <211> 15
 <212> ADN
 <213> Oligonucleótido sintético

55 <400> 21
 ctgcttctc caacc 15

60 <210> 22
 <211> 20
 <212> ADN
 <213> Oligonucleótido sintético

65 <400> 22
 gttatctgct tctccaacc 20

70 <210> 23
 <211> 15
 <212> ADN
 <213> Oligonucleótido sintético

75 <400> 23
 cugcuuccc caacc 15

80 <210> 24
 <211> 20
 <212> ADN

<213> Oligonucleótido sintético
 <400> 24
 5 guuauugcu uccuccaacc 20
 <210> 25
 <211> 20
 <212> ADN
 10 <213> Oligonucleótido sintético
 <400> 25
 gcuuuucuuu uaguugcugc 20
 <210> 26
 15 <211> 24
 <212> ADN
 <213> Oligonucleótido sintético
 <400> 26
 20 ggtatcagta caagaggcag gctg 24
 <210> 27
 <211> 20
 <212> ADN
 25 <213> Oligonucleótido sintético
 <400> 27
 cacttctaag agggctgtg 20
 30 <210> 28
 <211> 27
 <212> ADN
 <213> Oligonucleótido sintético
 35 <400> 28
 gctgaacagt ttctcagaaa gacacaa 27
 <210> 29
 <211> 20
 <212> ADN
 40 <213> Oligonucleótido sintético
 <400> 29
 45 tcactggag attgtctgc 20
 <210> 30
 <211> 18
 <212> ADN
 50 <213> Oligonucleótido sintético
 <400> 30
 gaaaacgccg ccatuuct 18
 <210>31
 55 <211> 18
 <212> ADN
 <213> Oligonucleótido sintético
 <400> 31
 60 ctgutagcca ctgattaa 18
 <210> 32
 <211> 18
 <212> ADN
 65 <213> Oligonucleótido sintético

	<400> 32 tgagaaactg tucagcut	18
5	<210> 33 <211> 18 <212> ADN <213> Oligonucleótido sintético	
10	<400> 33 caggaattug tgucuutc	18
15	<210> 34 <211> 18 <212> ADN <213> Oligonucleótido sintético	
20	<400> 34 gtauttagca tgutccca	18
25	<210> 35 <211> 18 <212> ADN <213> Oligonucleótido sintético	
30	<400> 35 agcatgttcc caatuctc	18
35	<210> 36 <211> 18 <212> ADN <213> Oligonucleótido sintético	
40	<400> 36 gccgcatuu cucaacag	18
45	<210> 37 <211> 18 <212> ADN <213> Oligonucleótido sintético	
50	<400> 37 cataatgaaa acgccgcc	18
55	<210> 38 <211> 18 <212> ADN <213> Oligonucleótido sintético	
60	<400> 38 tucccaatuc tcaggaat	18
65	<210> 39 <211> 18 <212> ADN <213> Oligonucleótido sintético	
	<400> 39 ccautugtau ttagcatg	18
	<210> 40 <211> 18 <212> ADN <213> Oligonucleótido sintético	
	<400> 40 ctcagatcuu ctaacuuc	18

<210> 41
 <211> 18
 <212> ADN
 <213> Oligonucleótido sintético
 5
 <400>41
 accgcctucc actcagag 18
 <210> 42
 <211> 18
 <212> ADN
 <213> Oligonucleótido sintético
 10
 <400> 42
 tcttgaagta aacggtut 18
 <210> 43
 <211> 18
 <212> ADN
 <213> Oligonucleótido sintético
 20
 <400> 43
 ggctgcttug ccctcagc 18
 <210> 44
 <211> 18
 <212> ADN
 <213> Oligonucleótido sintético
 25
 <400> 44
 agtccaggag ctaggtca 18
 <210> 45
 <211> 18
 <212> ADN
 <213> Oligonucleótido sintético
 30
 <400> 45
 gctccaatag tggtcagt 18
 <210> 46
 <211> 18
 <212> ADN
 <213> Oligonucleótido sintético
 35
 <400> 46
 gctaggtcag gctgcttu 18
 <210> 47
 <211> 18
 <212> ADN
 <213> Oligonucleótido sintético
 40
 <400> 47
 gcagccuctc gctcactc 18
 <210> 48
 <211> 18
 <212> ADN
 <213> Oligonucleótido sintético
 45
 <400> 48
 tcuuccaaag cagccuct 18
 <210> 49
 <211> 18

<212> ADN
 <213> Oligonucleótido sintético

5 <400> 49
 tgcagtaatc uatgagtt 18

10 <210> 50
 <211> 18
 <212> ADN
 <213> Oligonucleótido sintético

15 <400> 50
 gttucagcut ctgtaagc 18

20 <210> 51
 <211> 18
 <212> ADN
 <213> Oligonucleótido sintético

25 <400> 51
 tgtaggacat tggcagtt 18

30 <210> 52
 <211> 18
 <212> ADN
 <213> Oligonucleótido sintético

35 <400> 52
 tccttacggg tagcaucc 18

40 <210> 53
 <211> 18
 <212> ADN
 <213> Oligonucleótido sintético

45 <400> 53
 agctcututa ctcccttg 18

50 <210> 54
 <211> 18
 <212> ADN
 <213> Oligonucleótido sintético

55 <400> 54
 ccautgutuc aucagctc 18

60 <210> 55
 <211> 18
 <212> ADN
 <213> Oligonucleótido sintético

65 <400> 55
 ctatgagttt ctccaaa 18

70 <210> 56
 <211> 20
 <212> ADN
 <213> Oligonucleótido sintético

75 <400> 56
 tgtgtcacca gaguaacagt 20

80 <210> 57
 <211> 20
 <212> ADN
 <213> Oligonucleótido sintético

	<400> 57 aggttguguc accagagtaa	20
5	<210> 58 <211> 20 <212> ADN <213> Oligonucleótido sintético	
10	<400> 58 agtaaccaca gguugtca	20
15	<210> 59 <211> 20 <212> ADN <213> Oligonucleótido sintético	
20	<400> 59 tggatcaagc agagaaagcc	20
25	<210> 60 <211> 20 <212> ADN <213> Oligonucleótido sintético	
30	<400> 60 caccucugu gauutataa	20
35	<210> 61 <211> 20 <212> ADN <213> Oligonucleótido sintético	
40	<400> 61 accaccauc acccuctgtg	20
45	<210> 62 <211> 20 <212> ADN <213> Oligonucleótido sintético	
50	<400> 62 cctcaagguc acccaccatc	20
55	<210> 63 <211> 18 <212> ADN <213> Oligonucleótido sintético	
60	<400> 63 taacagucug aguaggag	18
65	<210> 64 <211> 18 <212> ADN <213> Oligonucleótido sintético	
70	<400> 64 ggcatuucua guutggag	18
75	<210> 65 <211> 18 <212> ADN <213> Oligonucleótido sintético	
80	<400> 65 agccagucgg uaagttct	18

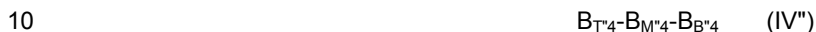
<210> 66
 <211> 18
 <212> ADN
 <213> Oligonucleótido sintético
 5
 <400> 66
 agtttgaga uggcagtt 18
 <210> 67
 <211> 18
 <212> ADN
 <213> Oligonucleótido sintético
 10
 <400> 67
 ctgattctga attcuutc 18
 <210> 68
 <211> 18
 <212> ADN
 <213> Oligonucleótido sintético
 20
 <400> 68
 ttctgtact tcatcca 18
 <210> 69
 <211> 18
 <212> ADN
 <213> Oligonucleótido sintético
 25
 <400> 69
 ccuccggttc tgaagtg 18
 <210> 70
 <211> 18
 <212> ADN
 <213> Oligonucleótido sintético
 35
 <400> 70
 cattucautc aactgttg 18
 <210> 71
 <211> 18
 <212> ADN
 <213> Oligonucleótido sintético
 40
 <400>71
 tccttagct uccagcca 18
 <210> 72
 <211> 18
 <212> ADN
 <213> Oligonucleótido sintético
 50
 <400> 72
 taagacctgc tcagcutc 18
 <210> 73
 <211> 18
 <212> ADN
 <213> Oligonucleótido sintético
 60
 <400> 73
 ctggctctg gcctgucc 18
 <210> 74
 <211> 18

	<212> ADN	
	<213> Oligonucleótido sintético	
5	<400> 74 ctctuccat gactcaag	18
	<210> 75	
	<211> 18	
10	<212> ADN	
	<213> Oligonucleótido sintético	
	<400> 75 ctgaaggtgt tctgtac	18
15	<210> 76	
	<211> 18	
	<212> ADN	
	<213> Oligonucleótido sintético	
20	<400> 76 ttccagccat tgtgtga	18
	<210> 77	
	<211> 18	
25	<212> ADN	
	<213> Oligonucleótido sintético	
	<400> 77 ctcagctuct tccttagc	18
30	<210> 78	
	<211> 18	
	<212> ADN	
	<213> Oligonucleótido sintético	
35	<400> 78 gcttcutccu tagcutcc	18
	<210> 79	
40	<211> 22	
	<212> ADN	
	<213> Oligonucleótido sintético	
45	<400> 79 tagtctacaa caaagctcag gt	22
	<210> 80	
	<211> 20	
	<212> ADN	
50	<213> Oligonucleótido sintético	
	<400> 80 cttccccagt tgcattcaat	20
55	<210> 81	
	<211> 21	
	<212> ADN	
	<213> Oligonucleótido sintético	
60	<400> 81 caaggagaaa tgaagctca a	21
	<210> 82	
	<211> 23	
65	<212> ADN	
	<213> Oligonucleótido sintético	

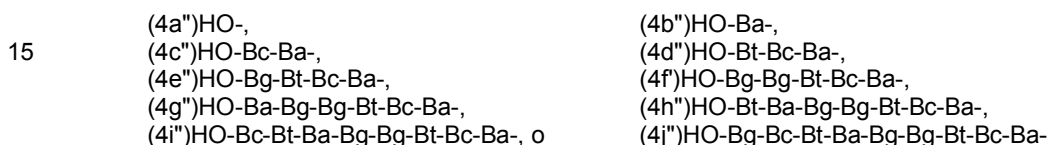
	<400> 82 cgatccgtaa tgattgtct agc	23
5	<210> 83 <211> 21 <212> ADN <213> Oligonucleótido sintético	
10	<400> 83 tggacagaac ttaccgactg g	21
15	<210> 84 <211> 20 <212> ADN <213> Oligonucleótido sintético	
20	<400> 84 ggcggaggtc ttggccaac	20
25	<210> 85 <211> 22 <212> ADN <213> Oligonucleótido sintético	
30	<400> 85 aaggattcaa cacaatggct gg	22
35	<210> 86 <211> 20 <212> ADN <213> Oligonucleótido sintético	
40	<400> 86 gtaacaggac tgcacatcg	20
45	<210> 87 <211> 18 <212> ADN <213> Oligonucleótido sintético	
50	<400> 87 ggcattucta guttgag	18
	<210> 88 <211> 18 <212> ADN <213> Oligonucleótido sintético	
	<400> 88 agtutggaga tggcagtt	18

REIVINDICACIONES

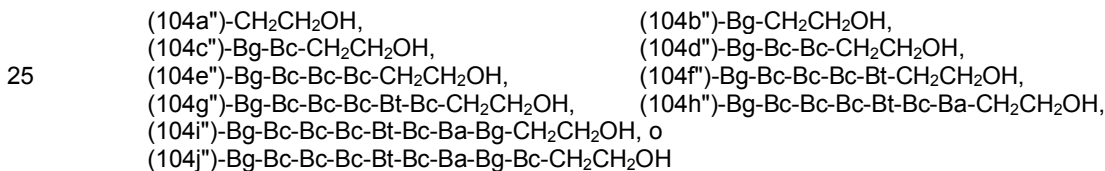
1. Un compuesto capaz de inducir el salto del exón 50 del gen de la distrofina, que es (a) un oligonucleótido que consiste en la secuencia de nucleótidos mostrada en una cualquiera de las SEC ID N° 41, 40, 42, 43, 46, 44 y 45, donde al menos uno de los azúcares que constituyen el oligonucleótido está modificado, y donde dicho azúcar es D-ribofuranosa y al menos una modificación de dicho azúcar es 2'-O,4'-C-alkilación de la D-ribofuranosa, o (b) un compuesto representado por la fórmula general (IV'') o (V'') o una sal farmacológicamente aceptable del mismo, donde dichas fórmulas generales se definen del siguiente modo:



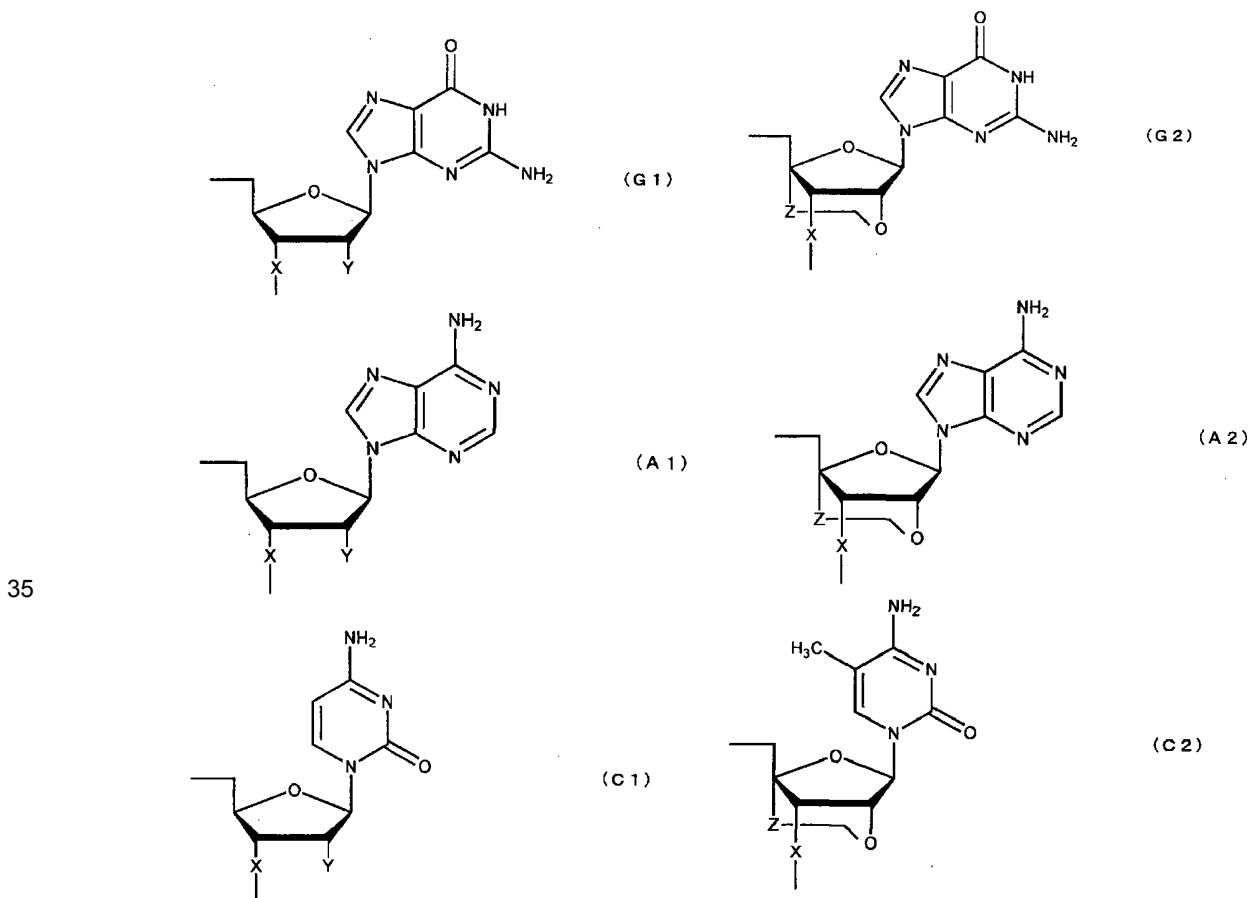
donde B_{T^4} es un grupo representado por uno cualquiera de los siguientes (4a'') a (4j''):

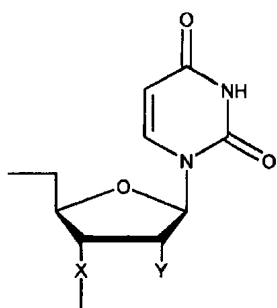


20 B_{M^4} es un grupo representado por la siguiente fórmula (4''): -Bg-Bg-Bc-Bt-Bg-Bc-Bt-Bt- (4'')
 B_{B^4} es un grupo representado por uno cualquiera de los siguientes (104a'') a (104j''):

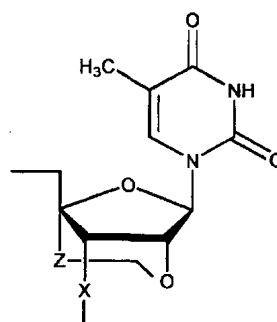


30 donde Bg es un grupo representado por la siguiente fórmula (G1) o (G2); Ba es un grupo representado por la siguiente fórmula (A1) o (A2); Bc es un grupo representado por la siguiente fórmula (C1) o (C2); y Bt es un grupo representado por la siguiente fórmula (U1) o (T2):



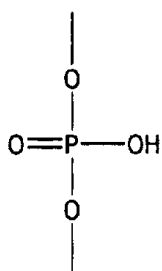


(U 1)

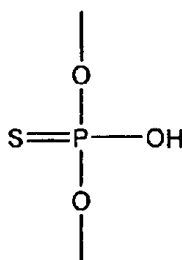


(T 2)

donde X es individual e independientemente un grupo representado por la siguiente fórmula (X1) o (X2):

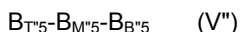


(X 1)



(X 2)

5 Y es individual e independientemente un átomo de hidrógeno, un grupo hidroxilo o un grupo alcoxi con 1-6 átomos de carbono; y Z es individual e independientemente un enlace sencillo o un grupo alquileo con 1-5 átomos de carbono; con la condición de que al menos uno de los nucleósidos que constituyen el compuesto representado por la fórmula (IV'') tenga un grupo 2'-O,4'-C-alquileo.



donde B_{T^*5} es un grupo representado por uno cualquiera de los siguientes (5a'') a (5j''):

15

- | | |
|--------------------------------------|--------------------------------------|
| (5a'')HO-, | (5b'')HO-Ba-, |
| (5c'')HO-Bg-Ba-, | (5d'')HO-Bg-Bg-Ba-, |
| (5e'')HO-Ba-Bg-Bg-Ba-, | (5f'')HO-Bc-Ba-Bg-Bg-Ba-, |
| (5g'')HO-Bc-Bc-Ba-Bg-Bg-Ba-, | (5h'')HO-Bt-Bc-Bc-Ba-Bg-Bg-Ba-, |
| (5i'')HO-Bg-Bt-Bc-Bc-Ba-Bg-Bg-Ba-, o | (5j'')HO-Ba-Bg-Bt-Bc-Bc-Ba-Bg-Bg-Ba- |

20

B_{M^*5} es un grupo representado por la siguiente fórmula (5''): -Bg-Bc-Bt-Ba-Bg-Bg-Bt-Bc-Ba- (5'')
 B_{B^*5} es un grupo representado por uno cualquiera de los siguientes (105a'') a (105j''):

25

- | | |
|--|---|
| (105a'')-CH ₂ CH ₂ OH, | (105b'')-Bg-CH ₂ CH ₂ OH, |
| (105c'')-Bg-Bg-CH ₂ CH ₂ OH, | (105d'')-Bg-Bg-Bc-CH ₂ CH ₂ OH, |
| (105e'')-Bg-Bg-Bc-Bt-CH ₂ CH ₂ OH, | (105f'')-Bg-Bg-Bc-Bt-Bg-CH ₂ CH ₂ OH, |
| (105g'')-Bg-Bg-Bc-Bt-Bg-Bc-CH ₂ CH ₂ OH, | (105h'')-Bg-Bg-Bc-Bt-Bg-Bc-Bt-CH ₂ CH ₂ OH, |
| (105i'')-Bg-Bg-Bc-Bt-Bg-Bc-Bt-Bt-CH ₂ CH ₂ OH, o | |
| (105j'')-Bg-Bg-Bc-Bt-Bg-Bc-Bt-Bt-Bt-CH ₂ CH ₂ OH | |

30

donde Bg, Ba, Bt y Bc son como se han definido anteriormente; con la condición de que la menos uno de los nucleósidos que constituyen el compuesto representado por la fórmula (V'') tenga un grupo 2'-O,4'-C-alquileo.

35

2. El compuesto de acuerdo con la reivindicación 1 o una sal farmacológicamente aceptable del mismo, donde al menos uno de los fosfatos que constituyen el oligonucleótido está modificado.

40

3. El compuesto de acuerdo con la reivindicación 1 o 2 o una sal farmacológicamente aceptable del mismo, que comprende adicionalmente 2'-O-alquilación de la D-ribofuranosa.

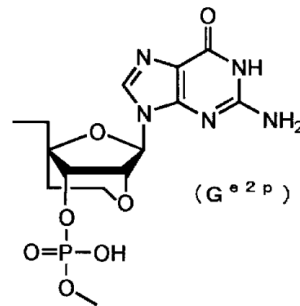
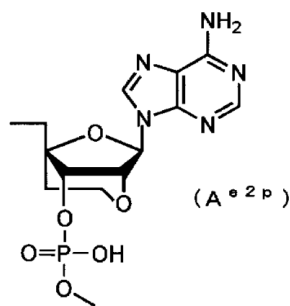
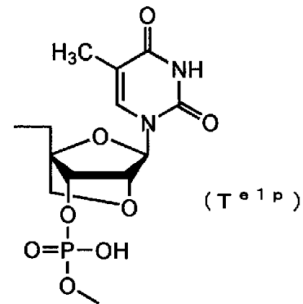
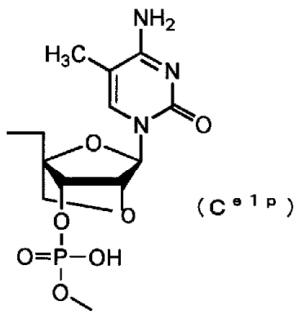
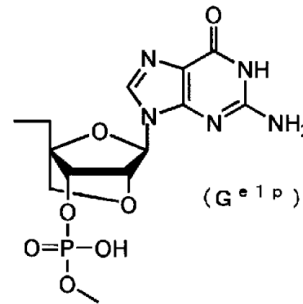
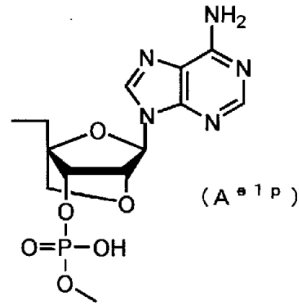
4. El compuesto de acuerdo con la reivindicación 2 o una sal farmacológicamente aceptable del mismo, donde la modificación del fosfato es tioación del grupo fosfato.

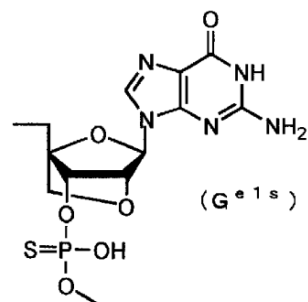
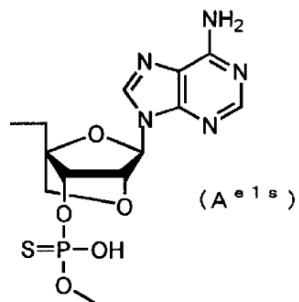
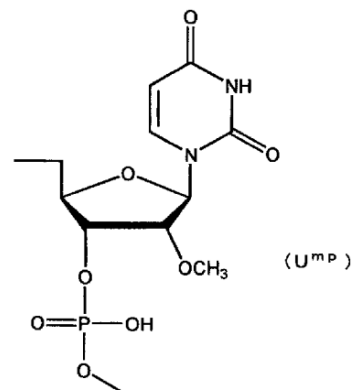
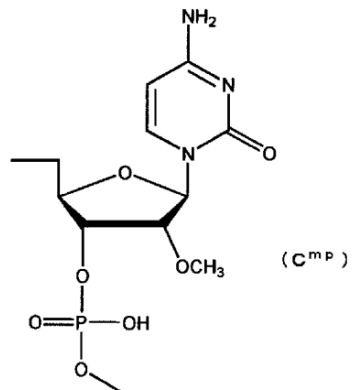
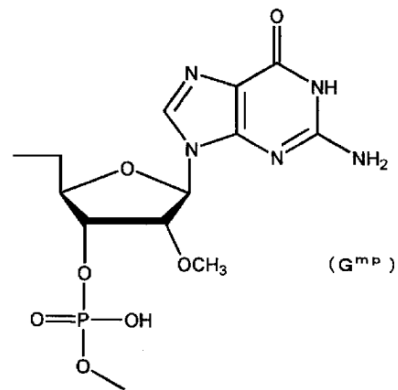
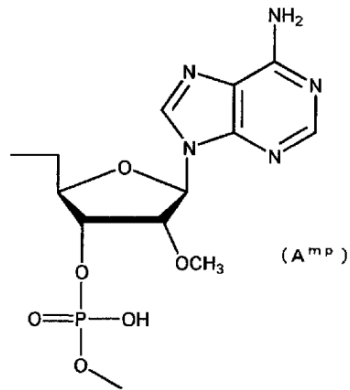
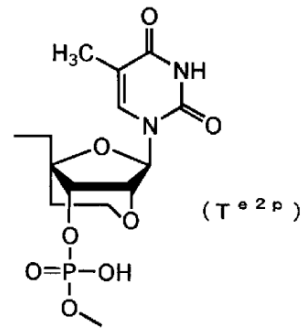
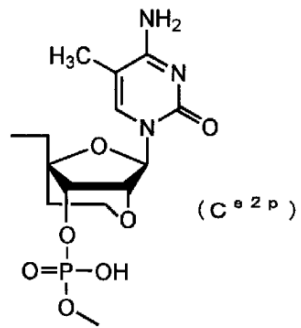
45

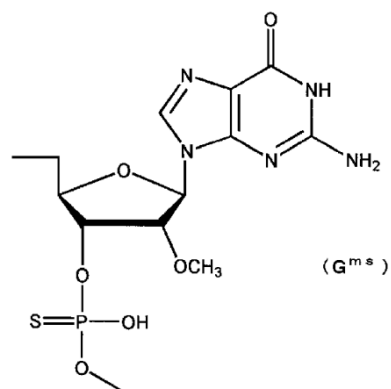
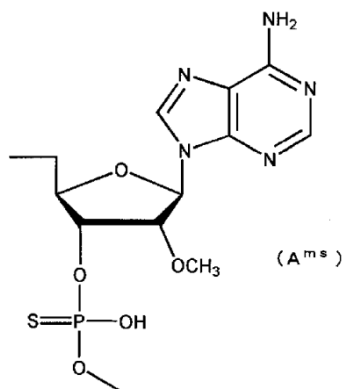
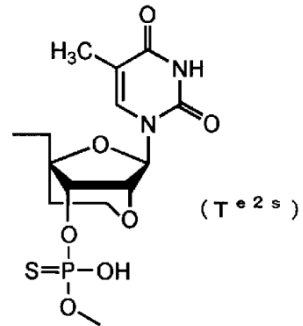
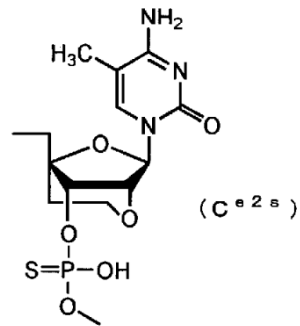
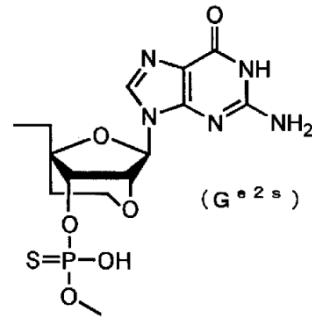
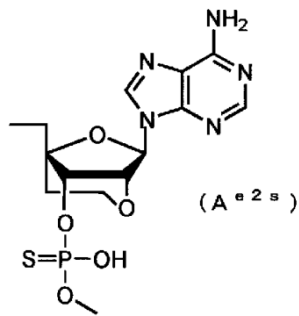
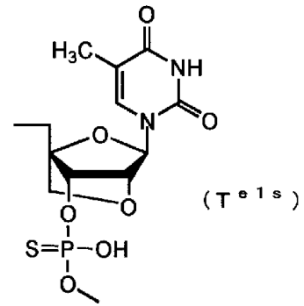
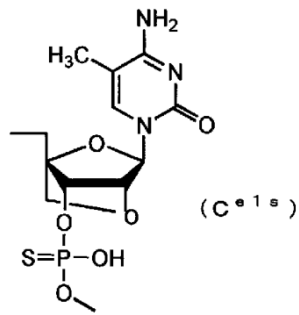
5. El compuesto de acuerdo con una cualquiera de las reivindicaciones 1 a 4, que está representado por una cualquiera de las fórmulas seleccionadas entre el grupo que consiste en

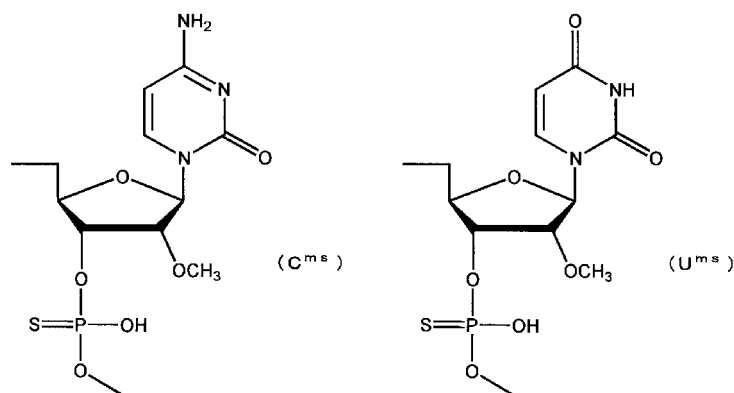
5 HO-G^{mp}-G^{mp}-C^{e2p}-T^{e2p}-G^{mp}-C^{mp}-T^{e2p}-U^{mp}-G^{mp}-C^{e2p}-C^{mp}-C^{mp}-T^{e2p}-C^{e2p}-A^{mp}-G^{mp}-C^{e2p}-CH₂CH₂OH; HO-G^{mp}-C^{e2p}-T^{e2p}-A^{mp}-G^{mp}-G^{mp}-T^{e2p}-C^{e2p}-A^{mp}-G^{mp}-G^{mp}-C^{e2p}-T^{e2p}-G^{mp}-C^{mp}-T^{e2p}-U^{mp}-CH₂CH₂OH; HO-G^{mp}-G^{mp}-C^{e1p}-T^{e1p}-G^{mp}-C^{mp}-T^{e1p}-U^{mp}-G^{mp}-C^{e1p}-C^{mp}-C^{mp}-T^{e1p}-C^{e1p}-A^{mp}-G^{mp}-C^{e1p}-CH₂CH₂OH; HO-G^{mp}-C^{e1p}-T^{e1p}-A^{mp}-G^{mp}-G^{mp}-T^{e1p}-C^{e1p}-A^{mp}-G^{mp}-G^{mp}-C^{e1p}-T^{e1p}-G^{mp}-C^{mp}-T^{e1p}-U^{mp}-CH₂CH₂OH; HO-G^{ms}-G^{ms}-C^{e2p}-T^{e2p}-G^{ms}-C^{ms}-T^{e2p}-C^{e2p}-U^{ms}-G^{ms}-C^{e2p}-C^{ms}-T^{e2p}-C^{e2p}-A^{ms}-G^{ms}-C^{e2p}-CH₂CH₂OH; HO-G^{ms}-G^{ms}-C^{e2p}-T^{e2p}-G^{ms}-C^{ms}-T^{e2p}-C^{e2p}-A^{ms}-G^{ms}-C^{e2p}-CH₂CH₂OH; HO-G^{ms}-G^{ms}-C^{e1p}-T^{e1p}-G^{ms}-C^{ms}-T^{e1p}-U^{ms}-G^{ms}-C^{e1p}-C^{ms}-C^{ms}-T^{e1p}-C^{e1p}-A^{ms}-G^{ms}-C^{e1p}-CH₂CH₂OH; HO-G^{ms}-C^{e1p}-T^{e1p}-A^{ms}-G^{ms}-G^{ms}-T^{e1p}-C^{e1p}-A^{ms}-G^{ms}-G^{ms}-C^{e1p}-T^{e1p}-C^{ms}-C^{ms}-T^{e1p}-U^{ms}-CH₂CH₂OH; HO-G^{ms}-G^{ms}-C^{e2s}-T^{e2s}-G^{ms}-C^{ms}-T^{e2s}-T^{e2s}-U^{ms}-G^{ms}-C^{e2s}-C^{ms}-C^{ms}-T^{e2p}-C^{2s}-A^{ms}-G^{ms}-C^{e2s}-CH₂CH₂OH; HO-G^{ms}-C^{e2s}-T^{e2s}-A^{ms}-G^{ms}-G^{ms}-T^{e2s}-C^{e2s}-A^{ms}-G^{ms}-G^{ms}-C^{e2s}-T^{e2s}-G^{ms}-C^{ms}-T^{e2s}-T^{e2s}-U^{ms}-CH₂CH₂OH; HO-G^{ms}-G^{ms}-C^{e1s}-T^{e1s}-G^{ms}-C^{ms}-T^{e1s}-U^{ms}-G^{ms}-C^{e1s}-C^{ms}-C^{ms}-T^{e1s}-C^{e1s}-A^{ms}-G^{ms}-C^{e1s}-CH₂CH₂OH; HO-G^{ms}-C^{e1s}-T^{e1s}-A^{ms}-G^{ms}-G^{ms}-T^{e1s}-C^{e1s}-A^{ms}-G^{ms}-G^{ms}-C^{e1s}-T^{e1s}-U^{ms}-CH₂CH₂OH; HO-A^{mp}-G^{mp}-T^{e2p}-C^{e2p}-C^{e2p}-A^{mp}-G^{mp}-G^{mp}-C^{e1p}-T^{e1p}-A^{mp}-G^{mp}-G^{mp}-T^{e1p}-C^{e1p}-A^{mp}-G^{mp}-T^{e2p}-C^{e2p}-A^{mp}-CH₂CH₂OH; HO-A^{ms}-G^{ms}-T^{e2p}-C^{e2p}-A^{ms}-G^{ms}-G^{ms}-T^{e1p}-C^{e1p}-A^{ms}-G^{ms}-G^{ms}-C^{e2p}-C^{e2p}-A^{ms}-G^{ms}-C^{e2p}-T^{e2p}-A^{ms}-G^{ms}-G^{ms}-T^{e2p}-C^{e2p}-A^{ms}-CH₂CH₂OH; HO-A^{ms}-G^{ms}-T^{e1p}-C^{e1p}-C^{e1p}-A^{ms}-G^{ms}-G^{ms}-A^{ms}-G^{ms}-C^{e3s}-T^{e2s}-A^{ms}-G^{ms}-G^{ms}-T^{e2s}-C^{e2s}-A^{ms}-CH₂CH₂OH; HO-A^{ms}-G^{ms}-T^{e1s}-C^{e1s}-C^{e1s}-A^{ms}-G^{ms}-G^{ms}-A^{ms}-G^{ms}-C^{e1s}-T^{e1s}-A^{ms}-G^{ms}-G^{ms}-T^{e1s}-C^{e1s}-A^{ms}-CH₂CH₂OH; HO-A^{mp}-C^{e2p}-C^{e2p}-G^{mp}-C^{mp}-C^{e2p}-T^{e2p}-U^{mp}-G^{mp}-C^{e2p}-A^{mp}-C^{mp}-T^{e2p}-C^{e2p}-A^{mp}-G^{mp}-A^{e2p}-G^{mp}-CH₂CH₂OH; y HO-A^{ms}-C^{e2s}-C^{e2s}-G^{ms}-C^{ms}-C^{e2s}-T^{e2s}-U^{ms}-C^{ms}-C^{e2s}-A^{ms}-C^{ms}-T^{e2s}-C^{e2s}-A^{ms}-G^{ms}-A^{ms}-G^{ms}-CH₂CH₂OH;

20 donde A^{e1p}, G^{e1p}, C^{e1p}, T^{e1p}, A^{e2p}, G^{e2p}, C^{e2p}, T^{e2p}, A^{mp}, G^{mp}, C^{mp}, U^{mp}, A^{e1s}, G^{e1s}, C^{e1s}, T^{e1s}, A^{e2s}, G^{e2s}, C^{e2s}, T^{e2s}, A^{ms}, G^{ms}, C^{ms}, y U^{ms} son grupos que tienen las siguientes estructuras, respectivamente:









o una sal farmacológicamente aceptable de los mismos.

5

6. El compuesto de acuerdo con la reivindicación 5 donde dicha fórmula se selecciona entre

$HO-G^{mp}_m-G^{mp}_m-C^{e2p}_m-T^{e2p}_m-G^{ms}_m-C^{e2p}_m-T^{e2p}_m-U^{mp}_m-G^{e2p}_m-C^{mp}_m-C^{mp}_m-T^{e2p}_m-C^{e2p}_m-A^{mp}_m-G^{e2p}_m-C^{e2p}_m-CH_2CH_2OH$; $HO-G^{ms}_m-C^{e2p}_m-T^{e2p}_m-G^{ms}_m-C^{e2s}_m-T^{e2s}_m-G^{ms}_m-T^{e2p}_m-A^{mp}_m-G^{mp}_m-T^{e2p}_m-C^{e2p}_m-A^{mp}_m-G^{mp}_m-T^{e2p}_m-G^{mp}_m-C^{mp}_m-T^{e2p}_m-T^{e2p}_m-U^{mp}_m-CH_2CH_2OH$; $HO-G^{ms}_m-G^{ms}_m-C^{e2s}_m-C^{e2s}_m-T^{e2s}_m-G^{ms}_m-C^{ms}_m-T^{e2s}_m-U^{ms}_m-G^{ms}_m-C^{e2s}_m-C^{ms}_m-T^{e2s}_m-C^{e2s}_m-A^{ms}_m-G^{ms}_m-C^{e2s}_m-CH_2CH_2OH$; $HO-G^{ms}_m-C^{e2s}_m-T^{e2s}_m-A^{ms}_m-G^{ms}_m-T^{e2s}_m-G^{ms}_m-T^{e2s}_m-A^{ms}_m-G^{ms}_m-T^{e2s}_m-C^{e2s}_m-A^{ms}_m-CH_2CH_2OH$; $HO-A^{ms}_m-G^{ms}_m-T^{e2s}_m-C^{e2s}_m-C^{e2s}_m-A^{ms}_m-G^{ms}_m-G^{ms}_m-A^{e2s}_m-G^{ms}_m-C^{e2s}_m-T^{e2s}_m-A^{ms}_m-G^{ms}_m-T^{e2s}_m-C^{e2s}_m-A^{ms}_m-CH_2CH_2OH$; $HO-A^{mp}_m-C^{e2p}_m-C^{e2p}_m-G^{mp}_m-C^{mp}_m-C^{e2p}_m-T^{e2p}_m-U^{mp}_m-C^{mp}_m-C^{mp}_m-T^{e2p}_m-C^{e2p}_m-A^{mp}_m-G^{mp}_m-A^{e2p}_m-G^{mp}_m-CH_2CH_2OH$; and $HO-A^{ms}_m-C^{e2s}_m-C^{e2s}_m-G^{ms}_m-C^{ms}_m-T^{e2s}_m-U^{ms}_m-C^{ms}_m-C^{e2s}_m-A^{ms}_m-C^{ms}_m-T^{e2s}_m-C^{e2s}_m-A^{ms}_m-G^{ms}_m-A^{e2s}_m-G^{ms}_m-CH_2CH_2OH$.

10

7. Un agente terapéutico para la distrofia muscular, que comprende el compuesto de acuerdo con una cualquiera de las reivindicaciones 1-6 o una sal farmacológicamente aceptable del mismo.

15

8. El agente terapéutico de acuerdo con la reivindicación 7, cuya diana de tratamiento es aquellos pacientes en que la cantidad total de los aminoácidos en la fase de lectura abierta del gen de la distrofina será un múltiplo de 3 cuando el exón 50 del gen de la distrofina se ha saltado.

20

9. Un compuesto de acuerdo con una cualquiera de las reivindicaciones 1 a 6 o un agente terapéutico de acuerdo con la reivindicación 7 u 8 para su uso en el tratamiento de la distrofia muscular.

10. Uso de un compuesto de acuerdo con una cualquiera de las reivindicaciones 1 a 6 en la fabricación de un medicamento para tratar la distrofia muscular.

25

11. Uso de acuerdo con la reivindicación 10, donde la diana de tratamiento es aquellos pacientes en que la cantidad total de los aminoácidos en la fase de lectura abierta del gen de la distrofina será un múltiplo de 3 cuando el exón 50 del gen de la distrofina se ha saltado.

30

12. Un agente terapéutico de acuerdo con la reivindicación 7 u 8, un compuesto o agente terapéutico de acuerdo con la reivindicación 9 o un uso de acuerdo con la reivindicación 10 u 11 donde dicha distrofia muscular es distrofia muscular de Duchenne.

35

FIG. 1

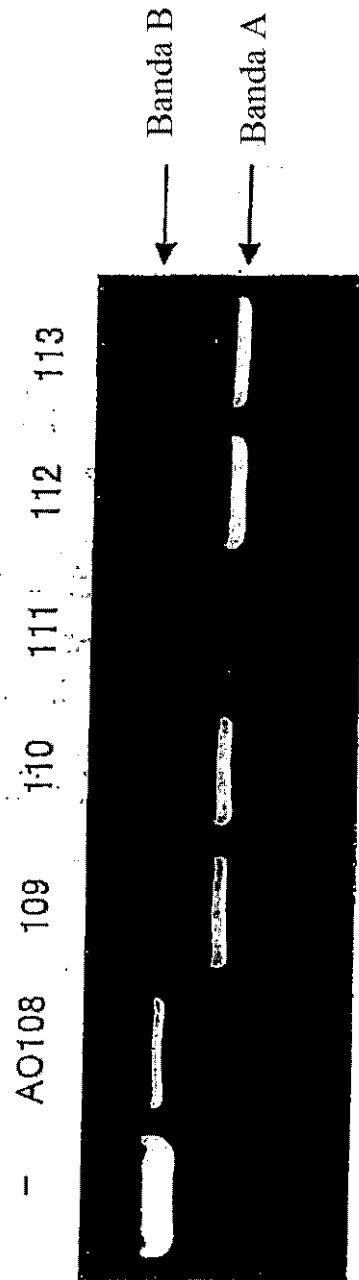


FIG. 2

